Date: 21/10/2013 Page : 1/46 Clé: V3.04.135 Responsable: Van Xuan TRAN Révision: 11817

SSLV135 – Critères d'amorçage en fatigue sous chargements multi-axiaux pour une structure

Résumé:

Ce cas-test a pour objectif de tester l'opérateur CALC FATIGUE qui calcule l'endommagement pour tous les points de la strcuture.

La géométrie traitée ici est un cube sans défaut avec lequel on réalise un calcul mécanique élastique linéaire suivi du calcul du plan de cisaillement critique en chaque point de Gauss et en chaque nœud.

- modélisation A : critères matake modi ac, dang van modi ac, vmis tresca, critère en formule, chargement périodique et bi-axial proportionnel;
- modélisation B : critère matake modi av, dang van modi av, fatesoci modi av, critère en formule, chargement non-périodique et bi-axial proportionnel;
- modélisation C : critères MATAKE MODI AC et DANG VAN MODI AV, critère en formule, chargement multiaxiaux, non-proportionnel;
- modélisation D : critère en formule, tester des nouvelles grandeurs, chargement uni-axial élasto-plastique et périodique.
- modélisation E : critère en formule, tester des nouvelles grandeurs (en contraintes), chargement bi-axial élasto-plastique et non-périodique.
- modélisation F : critère en formule, tester des nouvelles grandeurs (en déformations) , chargement bi-axial élastique à amplitude variable et chargement uni-axial élasto-plastique et non-périodique.
- modélisation G: critères MATAKE_MODI_AC, DANG_VAN_MODI_AC, MATAKE_MODI_AV, DANG VAN MODI AV, FATESOCI MODI AV. On teste le changement de la direction du plan critique sur lequel le dommage ou le cisaillement est maximum.
- modélisation H : critères en formule du type plan critique avec le mot-clé FORMULE CRITIQUE

Les critères dans la modélisation A sont dits « à plan de cisaillement critique », ils sont adaptés aux chargements périodiques. Les critères dans la modélisation B peuvent être qualifiés de critères « à plan de dommage critique », ils peuvent être utilisés lorsque le chargement est non périodique. Le critère VMIS TRESCA n'est pas un critère de fatique, il détermine la variation d'amplitude maximale du tenseur des contraintes. Les critères en formule permettant



Code Aster

Titre : SSLV135 – Critères d'amorçage en fatigue sous char[...]

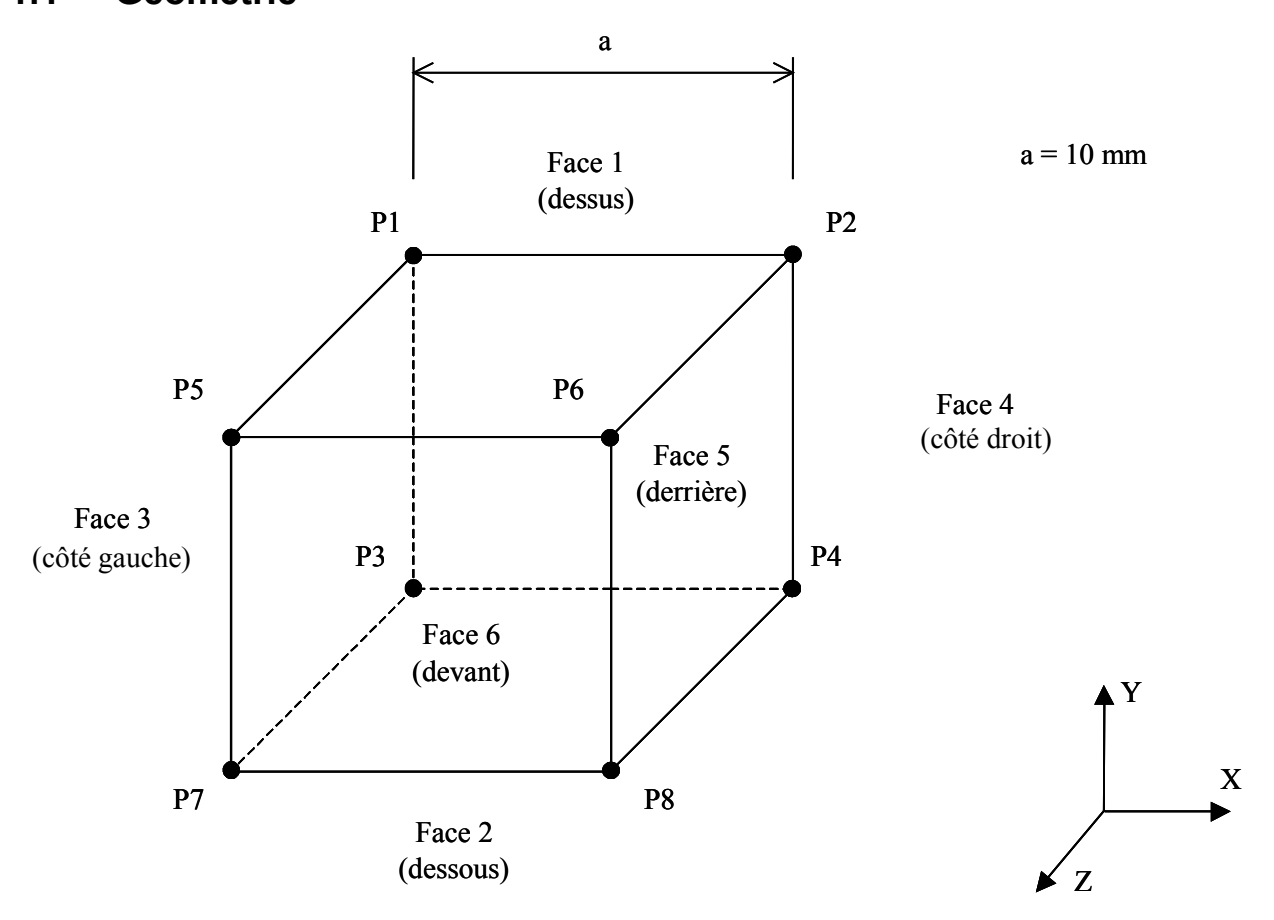
Responsable : Van Xuan TRAN

à l'utilisateur de construire des critères en fonctions des grandeurs pré-définies sont également testés. Les critères dans la modélisation H sont dits « à plan critique général », ils sont adaptés aux chargements périodiques.

Page : 3/46 Date: 21/10/2013 Clé: V3.04.135 Révision: 11817 Responsable: Van Xuan TRAN

Problème de référence

1.1 Géométrie



Le cube a $10\,mm$ de côté.

1.2 Propriétés de matériaux

1.2.1 Modélisations : A, B, C et F

Module d'Young : E=200000 MPaCoefficient de Poisson : v = 0.3

1.2.2 Modélisations D et H

Le module d'Young et le coefficient de Poisson sont identiques à ceux des autres modélisations.

Limite élastique du matériau : $\sigma_o = 150.0 \ MPa$

Le comportement élasto-plastique de Von Mises à écrouissage isotrope linéaire avec la pente de courbe d'écrouissage : H = 50000.0 MPa

1.2.3 Modélisation E

Le module d'Young et le coefficient de Poisson sont identiques à ceux des autres modélisations.

Limite élastique du matériau : $\sigma_o = 900.0 \ MPa$

Le comportement élasto-plastique de Von Mises à écrouissage isotrope linéaire avec la pente de courbe d'écrouissage : H=50000.0 MPa

Page: 4/46

Titre : SSLV135 – Critères d'amorçage en fatique sous char[...]

Date: 21/10/2013 Clé: V3.04.135 Responsable: Van Xuan TRAN Révision: 11817

1.2.4 Modélisation F

Dans cette modélisation, deux matériaux différents sont considérés. Le premier est similaire au paragraphe 1.2.1 (c'est-à-dire purement élastique), et le second est similaire au matériau utilisé dans la modélisation E (1.2.3).

1.2.5 Modélisation G

Dans cette modélisation, deux matériaux différents sont considérés.

Le premier matériau est élastique avec le module d'Young : $E = 193000 \, MPa$ et le coefficient de Poisson :

Le deuxième matériau est élasto-plastique, le module d'Young et le coefficient de Poisson sont identiques au premier matériau. Limite élastique du matériau : $\sigma_o = 208.0 \, MPa$. Le comportement élasto-plastique de Von Mises à écrouissage isotrope linéaire avec la pente de courbe d'écrouissage : $H = 50000.0 \ MPa$

1.3 Courbes de Wöhler et de Manson-Coffin

Les modélisations utilisent toutes les courbes de Wöhler (c'est-à-dire une courbe en contrainte) et de Manson-Coffin (c'est-à-dire une courbe en déformation).

Voici la courbe de Wöhler (traction-compression alternée contrôlée en contrainte) :

Demi amplitude de contrainte (MPa)	138.0	152.0	165.0	180.0	200.0	250.0	295.0
Nombre de cycles	1.0E+6	5.0E+	2.0E+	1.0E+	5.0E+4	2.0E+4	1.2E+4
		5	5	5			
Demi amplitude de contrainte (MPa)	305.0	340.0	430.0	540.0	690.0	930.0	1210.0
Nombre de cycles	1.0E+4	5.0E+	2.0E+	1.0E+	5.0E+2	2.0E+2	1.0E+2
		3	3	3			
Demi amplitude de contrainte (MPa)	1590.0	2210.0	2900.0				
Nombre de cycles	5.0E+1	2.0E+	1.0E+				
		1	1				

Tableau 1.3-1 : Courbe de Wöhler

Voici la courbe de Manson-Coffin (traction-compression alternée contrôlée en déformation) :

Déformation	0.00226	0.0023	0.0025	0.0027	0.003	0.0035
Nombre de cycles	5.8E+6	4.6E+6	2.39284E+	1.49535E+	7.3544E+4	3.3821E+4
			5	5		
Déformation	0.006	0.0085	0.010	1.000		
Nombre de cycles	2.85E+3	1.068E+3	5.62E+2	1.0		

Tableau 1.3-2 : Courbe de Manson-Coffin

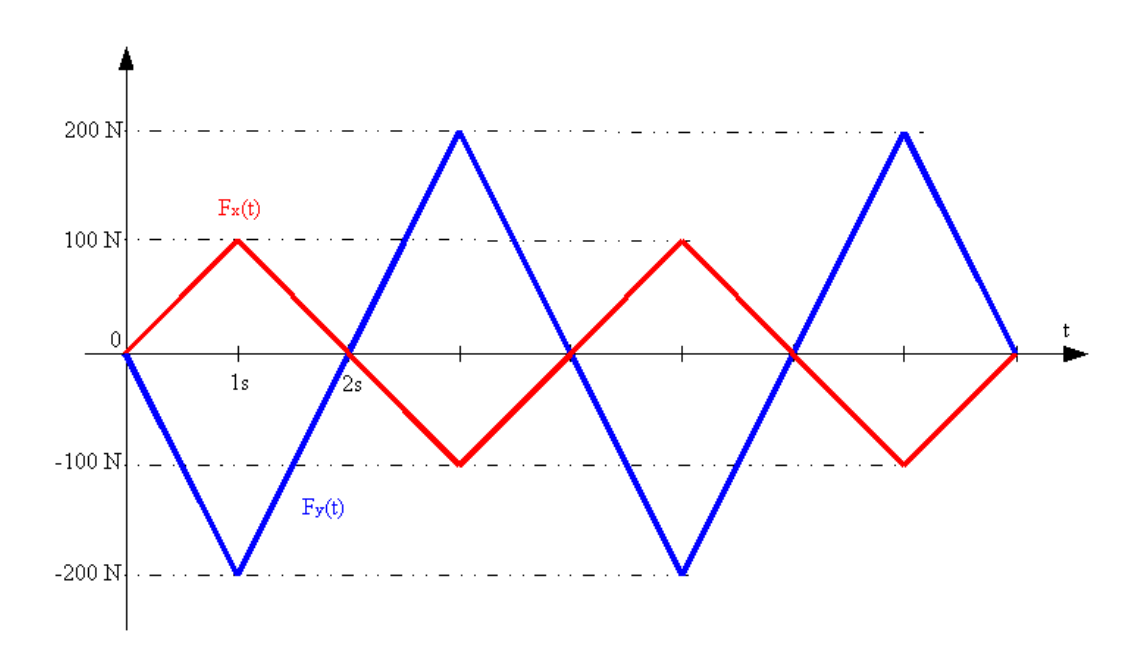
1.4 Conditions aux limites et chargements

1.4.1 Modélisations : A, B

- Les déplacements selon l'axe X de la face 3 sont bloqués (DX = 0.0).
- Les déplacements selon l'axe Y de la face 2 sont bloqués (DY = 0.0).
- Les déplacements du point P3 sont bloqués selon l'axe Z (DZ=0.0).
- Nous appliquons un chargement bi-axial alterné (traction-compression) selon les axes X et Y. Fx(t)représente les efforts alternés appliqués sur la face 4 selon l'axe X et $F_{\mathcal{V}}(t)$ représente les efforts alternés appliqués sur la face 1 selon l'axe Y.

Date : 21/10/2013 Page : 5/46 Responsable: Van Xuan TRAN Clé: V3.04.135 Révision: 11817

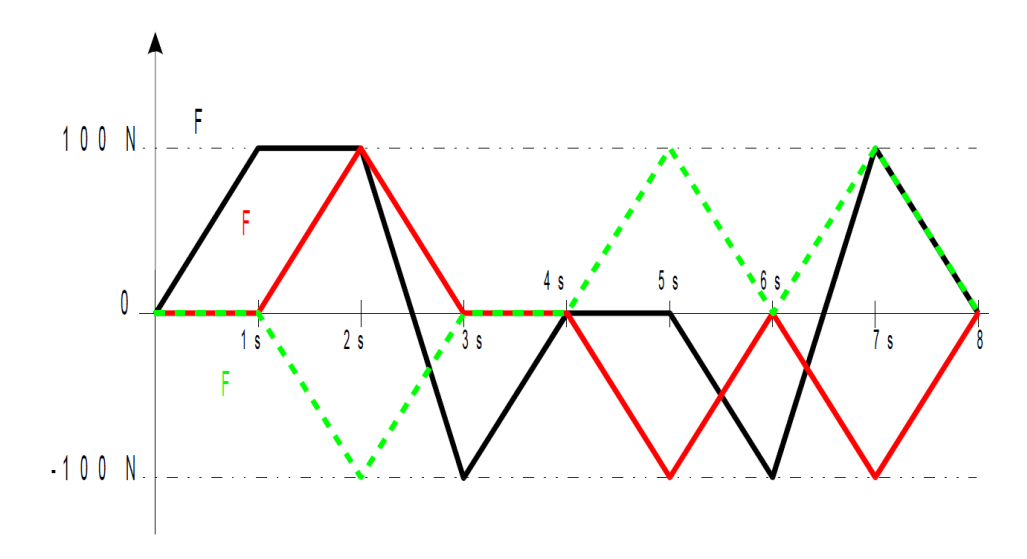
Chargement pour ces modélisations :



1.4.2 **Modélisation C**

- Les déplacements selon l'axe X de la face 3 sont bloqués (DX = 0.0).
- Les déplacements selon l'axe Y de la face 3 sont bloqués (DY = 0.0).
- Les déplacements selon l'axe Z de la face 2 sont bloqués (DZ = 0.0).
- Nous appliquons un chargement multi-axial : traction-compression selon l'axe X, cisaillement selon les axes Y et Z. Fx(t) représente les efforts appliqués sur la face 4 selon l'axe X, Fy(t)représente les efforts appliqués sur la face 4 selon l'axe Y et $F_{z}(t)$ représente les efforts appliqués sur la face 1 selon l'axe Z.

Chargement pour cette modélisation :



Page: 6/46

Date: 21/10/2013

Titre: SSLV135 - Critères d'amorçage en fatigue sous char[...]

Responsable : Van Xuan TRAN Clé : V3.04.135 Révision : 11817

1.4.3 Modélisations D et H

• Les déplacements selon l'axe X de la face 3 sont bloqués (DX = 0.0).

- Les déplacements selon l'axe Y de la face 3 sont bloqués (DY = 0.0).
- Les déplacements selon l'axe Z de la face 2 sont bloqués (DZ = 0.0).
- Dans cette modélisation, nous appliquons un chargement uni-axial périodique.

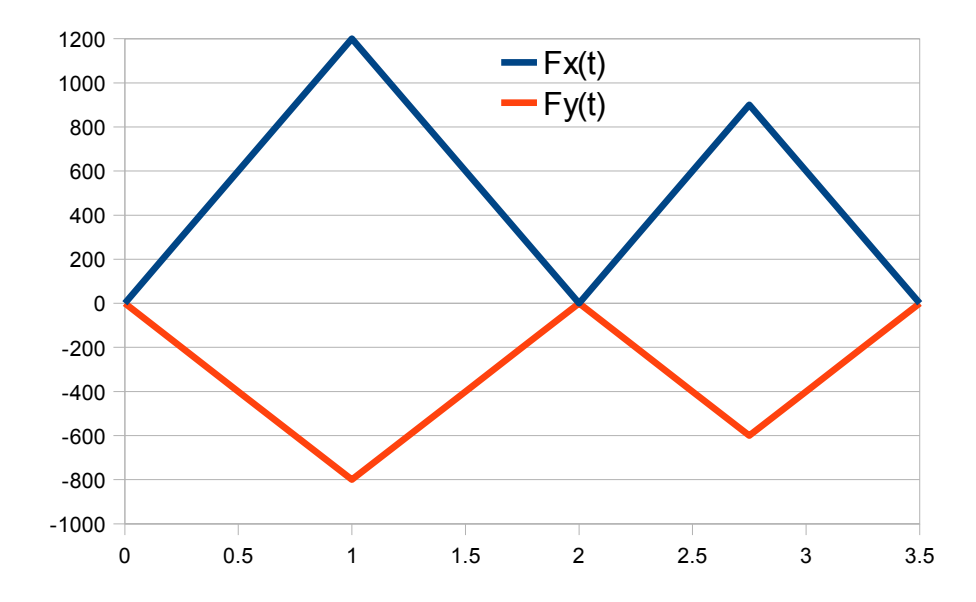
t	0	1	2	3	4	5	6
Fx(t)	0	200	0	-200	0	200	0

On note que cette histoire de chargement entraîne une déformation plastique dans le calcul. On note également que l'histoire de chargement monotone entre t=0 et t=1 (la partie du chargement monotone) n'est pas prise en compte dans le calcul de fatigue.

1.4.4 Modélisation E

- Les déplacements bloqués ici sont les mêmes que dans la modélisation O
- Nous appliquons ici un chargement bi-axial non-périodique.

t	0	1	2	2.75	3.5
Fx(t)	0	1200	0	900	0
Fy(t)	0	-800	0	-600	0



1.4.5 Modélisation F

- Les déplacements bloqués ici sont les mêmes que dans la modélisation O
- Dans cette modélisation, nous appliquons trois chargements distincts. Le premier est bi-axial, le deux autres sont uni-axiaux.

Premier chargement (association de TR CS et de COEF dans le fichier de commande) :

t	0	1	2	2.75	3.5
Fx(t)	0	1200	0	900	0

Manuel de validation

Fascicule v3.04 : Statique linéaire des systèmes volumiques

Responsable: Van Xuan TRAN

Date: 21/10/2013 Page : 7/46 Clé: V3.04.135

Révision: 11817

Fv(t)

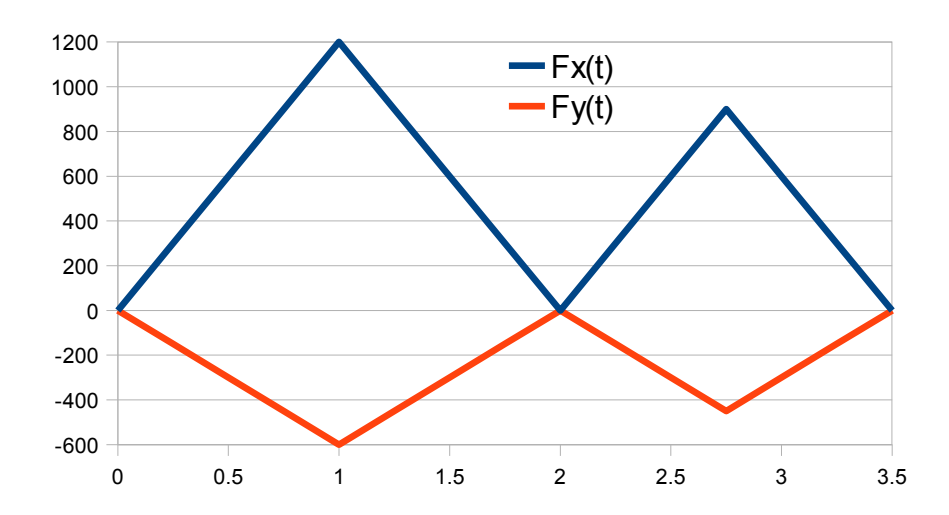
0

-600

0

-450

0



Deuxième chargement (association de TR CS2 et de COEF2 dans le fichier de commande) :

t	0	1	2,5625	3,5625	5,5625
Fx(t)	0	1200	-675	900	-675

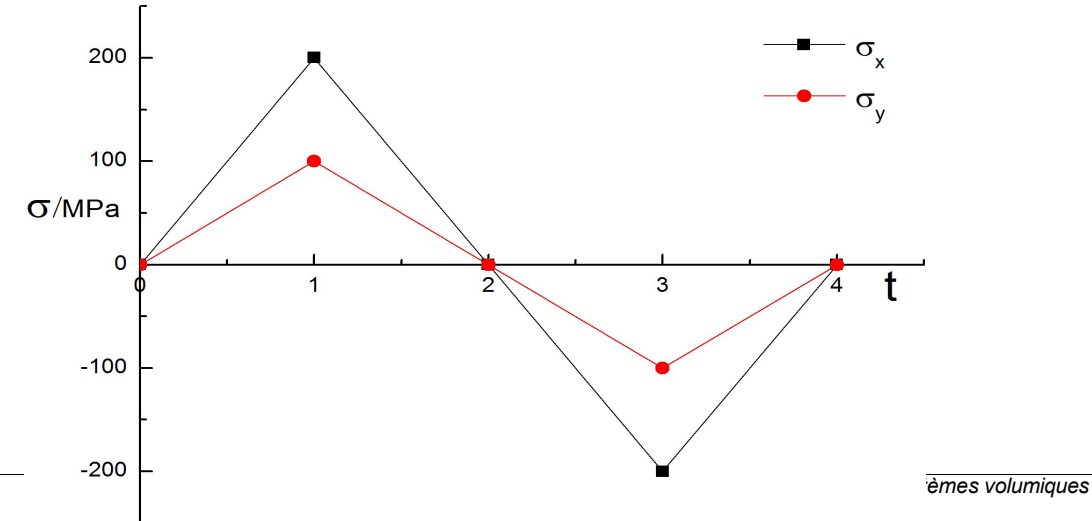
Troisième chargement (association de TR CS2 et de COEF3 dans le fichier de commande) :

t	0	1	2	3	4
Fx(t)	0	1800	-600	2400	-1200

1.4.6 Modélisation G

Manuel de validation

- Les déplacements bloqués ici sont les mêmes que dans la modélisation A
- Nous appliquons un chargement bi-axial alterné (traction-compression) selon les axes X et Y. σ_{x} représente les efforts alternés appliqués sur la face 4 selon l'axe X et σ_v représente les efforts alternés appliqués sur la face 1 selon l'axe Y.
- Pour étudier des effets de la contrainte moyenne sur l'orientation du plan critique, seuls des chargements bi-axiaux, proportionnels selon directions de X et Y sont considérés.



Page: 8/46

Révision: 11817

Date: 21/10/2013

Clé: V3.04.135

Titre : SSLV135 – Critères d'amorçage en fatigue sous char[...]

Responsable : Van Xuan TRAN

· Deux paramètres sont définis

$$\lambda = \frac{\sigma_{y,a}}{\sigma_{x,a}}$$

$$\alpha = \frac{\sigma_{y,m}}{\sigma_{y,a}} = \frac{\sigma_{x,m}}{\sigma_{x,a}}$$

où $\sigma_{x,a}$, $\sigma_{y,a}$ représentent des amplitudes des contraintes selon X et Y, respectivement. $\sigma_{x,m}$ et $\sigma_{y,m}$ représentent les valeurs des contraintes moyennes selon X et Y directions, respectivement. On prend $\sigma_{x,a}=200\,MPa$, $\lambda=1$ et α varie de -1 à 10 avec un intervalle de 0,5.

1.5 Conditions initiales

Sans objet pour une analyse statique.

Date: 21/10/2013 Page: 9/46 Clé: V3.04.135 Responsable: Van Xuan TRAN Révision: 11817

Solution de référence

2.1 Méthode de calcul utilisée pour la solution de référence

Dans le cas d'un chargement bi-axial alterné où les contraintes appliquées sont telles que : $\sigma_x = \lambda \sigma_v$, avec et $\lambda \! < \! 0$, on montre [bib1] que la demie amplitude de cisaillement maximal $\Delta \tau/2 = |\Delta \sigma_x + \Delta \sigma_y|/4$, où $\Delta \sigma_x/2$ et $\Delta \sigma_y/2$ représentent les demies amplitudes de contraintes appliquées selon les axes x et y. De plus, il y a deux plans critiques dans lesquels le cisaillement est maximal:

2.2 Résultats de référence pour la modélisation A

Voir les références [bib1] et [R7.04.04].

Demie amplitude de cisaillement maximal :

$$\frac{\Delta\sigma_x/2 \text{ (MPa)}}{100} \frac{\Delta\sigma_y/2 \text{ (MPa)}}{200} \frac{\Delta\tau/2 \text{ (MPa)}}{150}$$

Remarque:

La demi amplitude de cisaillement maximal est identique pour les deux plans critiques.

Vecteurs normaux aux deux plans critiques :

	n_1	n_2
Composante x	$-1/\sqrt{2}$	$1/\sqrt{2}$
Composante y	$1/\sqrt{2}$	$1/\sqrt{2}$
Composante z	0	0

Contraintes maximales normales sur les plans des normales $\,n_1\,$ et $\,n_2\,$:

$$N_{\rm max}(n_1) {=}\, 50~MPa$$
 et $N_{\rm max}(n_2) {=}\, 50~MPa$.

Date: 21/10/2013 Page: 10/46 Clé: V3.04.135 Responsable: Van Xuan TRAN Révision: 11817

Pression hydrostatique maximale, indépendante vis à vis des plans de normales n_1 et n_2 :

P = 33.33333 MPa.

Contraintes moyennes normales sur les plans des normales n_1 et n_2 :

$$N_m(n_1) = 0 MPa \text{ et } N_m(n_2) = 0 MPa$$
.

Déformations maximales normales sur les plans des normales $\,n_1\,$ et $\,n_2\,$:

$$\varepsilon_{\text{max}}(n_1) = 1.75 \ 10^{-4} \text{ et } \varepsilon_{\text{max}}(n_2) = 1.75 \ 10^{-4}$$

Déformations moyennes normales sur les plans des normales $\,n_1\,$ et $\,n_2\,$:

$$\varepsilon_m(n_1) = 0$$
 et $\varepsilon_m(n_2) = 0$.

Critère MATAKE MODI AC

$$\frac{\Delta \tau(n_i)}{2} + a N_{\text{max}}(n_i) \le b, \quad i = 1, 2$$

où a=1 et b=2.

Contraintes équivalentes au sens de MATAKE sur les plans des normales $\,n_1^{}\,$ et $\,n_2^{}\,$:

$$\sigma_{eq}(n_i) = \left(\frac{\Delta \tau(n_i)}{2} + a N_{\max}(n_i)\right) \frac{f}{t}, \quad i = 1, 2$$

où f et t représentent, respectivement, la limite d'endurance en flexion alternée et la limite d'endurance en torsion alternée. Ici f/t est égal à 1,5 . Par conséquent nous avons :

$$\sigma_{eq}(n_1) = 300 \ MPa$$
 et $\sigma_{eq}(n_2) = 300 \ MPa$.

Nombres de cycles à la rupture sur les plans des normales n_1 et n_2 :

À partir de la courbe de Wöhler, cf. [Tableau 1.2-1], et des contraintes équivalentes au sens de MATAKE, nous obtenons:

$$Nb_{cr}(n_1) = Nb_{cr}(n_2) = 10946 \ cycles$$
 .

Endommagement sur les plans des normales n_1 et n_2 :

$$ENDO(n_1) = ENDO(n_2) = 9.13565 \ 10^{-5}$$
.

Critère de Dang Van adapté aux chargements périodiques : DANG VAN MODI AC

$$\frac{\Delta \tau(n_i)}{2} + a P \le b , \quad i = 1, 2$$

où a=1 et b=2.

Page: 11/46

Date: 21/10/2013

Titre : SSLV135 – Critères d'amorçage en fatigue sous char[...]

Responsable : Van Xuan TRAN Clé : V3.04.135 Révision : 11817

Contraintes équivalentes au sens de DANG VAN sur les plans des normales $\,\mathbf{n}_1\,$ et $\,\mathbf{n}_2\,$:

$$\sigma_{eq}(n_i) = \left(\frac{\Delta \tau(n_i)}{2} + a P\right) \frac{c}{t}, i=1, 2$$

où c et t représentent, respectivement, la limite d'endurance en cisaillement alterné et la limite d'endurance en traction-compression alternée. Ici c/t est égal à 1.5 . Par conséquent nous avons :

$$\sigma_{eq}(n_1) = 275 \text{ MPa et } \sigma_{eq}(n_2) = 275 \text{ MPa}$$
.

Nombres de cycles à la rupture sur les plans des normales $\,n_1\,$ et $\,n_2\,$

À partir de la courbe de Wöhler, cf. [Tableau 1.2-1], et des contraintes équivalentes au sens de DANG VAN, nous obtenons :

$$Nb_{cr}(n_1) = Nb_{cr}(n_2) = 14903 \ cycles$$
.

Endommagement sur les plans des normales n_1 et n_2 :

$$ENDO(n_1) = ENDO(n_2) = 6.709959 \ 10^{-5}$$
.

Pour l'option <code>COURBE_GRD_VIE = 'FORM_VIE'</code> et <code>FORMULE_VIE = WHOL_F</code> où la courbe de vie est fournie par une formule, les résultats de référence sont identiques à ceux appelés avec les noms sauf ceux de <code>NBRUPT</code> et <code>ENDO</code> comme on utilise une courbe de vie différente.

- •la courbe <code>WHOL_F</code> de formule (grandeur_équivalente = $4098.3 \times (NBRUP^{-0.2693})$) est d'abord fournie par une fonction tabulée pour calculer des valeurs de référence de <code>NBRUPT</code> et <code>ENDO</code>.
- •la courbe MANCO2 de formule (grandeur_équivalente = $0.2 \times (NBRUP^{-0.1619})$) est d'abord fournie par une fonction tabulée pour calculer des valeurs de référence de NBRUPT et ENDO.

2.3 Résultats de référence pour la modélisation B

Critère de MATAKE adapté aux chargements non périodiques : MATAKE_MODI_AV Pour ce critère il n'y a pas de résultats analytiques.

Critère de Dang Van adapté aux chargements non périodiques : DANG_VAN_MODI_AV Pour ce critère il n'y a pas de résultats analytiques. Voir les références [bib2] et [R7.04.04].

Demie amplitude de contrainte :

$$\frac{\Delta \sigma_x/2 \text{ (MPa)}}{100} \frac{\Delta \sigma_y/2 \text{ (MPa)}}{200}$$

Critère de FATEMI et SOCIE adapté aux chargements non périodiques : FATESOCI_MODI_AV Pour ce critère il n'y a pas de résultats analytiques. Voir les références [bib3] et [R7.04.04].

Demie amplitude de contrainte :

$$\frac{\Delta \sigma_x/2 \text{ (MPa)}}{100} \frac{\Delta \sigma_y/2 \text{ (MPa)}}{200}$$

Responsable : Van Xuan TRAN

Date : 21/10/2013 Page : 12/46 Clé : V3.04.135 Révision : 11817

Critère de VON MISES et de TRESCA appliqués à la recherche de la variation maximale d'un tenseur de contrainte. Le chargement peut être périodique ou non : VMIS TRESCA

Voir la référence [R7.04.04].

Demie amplitude de contrainte :

$$\frac{\Delta \sigma_x/2 \text{ (MPa)}}{100} \frac{\Delta \sigma_y/2 \text{ (MPa)}}{200}$$

Critère de Von Mises :

Dans l'espace des contraintes à six dimensions :

$$\sigma_{s} = \sqrt{\frac{1}{2} \left[\left(\sigma_{xx} - \sigma_{yy}\right)^{2} + \left(\sigma_{yy} - \sigma_{zz}\right)^{2} + \left(\sigma_{zz} - \sigma_{xx}\right)^{2} + 6\left(\sigma_{xy}^{2} + \sigma_{xz}^{2} + \sigma_{yz}^{2}\right) \right]},$$

avec σ_{xx} = 200 MPa , σ_{vv} = -400 MPa et σ_{zz} = σ_{xz} = σ_{xz} = σ_{vz} = 0 , on obtient :

$$\frac{\sigma_s \text{ (MPa)}}{529.15026221292}$$

Critère de Tresca:

Dans l'espace des contraintes principales à trois dimensions :

$$\sigma_s = \sup_{i \neq j} (|\sigma_i - \sigma_j|),$$

avec σ_{xx} = 200 MPa , σ_{yy} = -400 MPa et σ_{zz} = σ_{xy} = σ_{xz} = σ_{yz} = 0 , on obtient :

$$\frac{\sigma_s (MPa)}{600}$$

2.4 Résultats de référence pour la modélisation C

Il n'y a pas de résultat de référence pour la modélisation G. Cette modélisation a pour unique objectif de tester les routines cer3pt.f et raxini.f.

2.5 Résultats de référence pour la modélisation D

On commence par un calcul de la contrainte, la déformation totale et la déformation plastique avec la commande CALC_CHAMP. Les résultats sont listés dans le Tableau suivant en sachant que les autres composantes sont égales à zéro.

Les résultats sont obtenus avec la nœud N1.

t	$O_{\chi\chi}$	tot exx	tot E yy	tot € zz	€ ^p xx	€ ^p yy	$\stackrel{p}{\in}_{zz}$
0.00E+00	0.00E+00	0.00E+00	0.00E+00	0.00E+00	0.00E+00	0.00E+00	0.00E+00
2.50E-01	5.00E+01	2.50E-04	-7.50E-05	-7.50E-05	-1.48E-20	-7.40E-20	-5.98E-20
5.00E-01	1.00E+02	5.00E-04	-1.50E-04	-1.50E-04	-4.57E-19	2.71E-19	2.84E-20
7.50E-01	1.50E+02	7.50E-04	-2.25E-04	-2.25E-04	-2.29E-19	2.15E-19	-2.71E-20
1.00E+00	2.00E+02	1.75E-03	-6.75E-04	-6.75E-04	7.50E-04	-3.75E-04	-3.75E-04
1.25E+00	1.50E+02	1.50E-03	-6.00E-04	-6.00E-04	7.50E-04	-3.75E-04	-3.75E-04

Manuel de validation

Fascicule v3.04 : Statique linéaire des systèmes volumiques

Titre : SSLV13	5 – Critères d'a	morçage en fat	igue sous char	[]	Date : 21	1/10/2013 Pag	re : 13/46
Responsable : V	/an Xuan TRAN	V		_	Clé : V3.	04.135 Rév	rision : 11817
I	I	I	I	I	I	I	1
1.50E+00	1.00E+02	1.25E-03	-5.25E-04	-5.25E-04	7.50E-04	-3.75E-04	-3.75E-04
1.75E+00	5.00E+01	1.00E-03	-4.50E-04	-4.50E-04	7.50E-04	-3.75E-04	-3.75E-04
2.00E+00	1.98E-08	7.50E-04	-3.75E-04	-3.75E-04	7.50E-04	-3.75E-04	-3.75E-04
2.25E+00	-5.00E+01	5.00E-04	-3.00E-04	-3.00E-04	7.50E-04	-3.75E-04	-3.75E-04
2.50E+00	-1.00E+02	2.50E-04	-2.25E-04	-2.25E-04	7.50E-04	-3.75E-04	-3.75E-04
2.75E+00	-1.50E+02	-7.50E-04	2.25E-04	2.25E-04	-7.14E-13	7.02E-13	1.17E-14
3.00E+00	-2.00E+02	-1.75E-03	6.75E-04	6.75E-04	-7.50E-04	3.75E-04	3.75E-04
3.25E+00	-1.50E+02	-1.50E-03	6.00E-04	6.00E-04	-7.50E-04	3.75E-04	3.75E-04
3.50E+00	-1.00E+02	-1.25E-03	5.25E-04	5.25E-04	-7.50E-04	3.75E-04	3.75E-04
3.75E+00	-5.00E+01	-1.00E-03	4.50E-04	4.50E-04	-7.50E-04	3.75E-04	3.75E-04
4.00E+00	3.26E-09	-7.50E-04	3.75E-04	3.75E-04	-7.50E-04	3.75E-04	3.75E-04
4.25E+00	5.00E+01	-5.00E-04	3.00E-04	3.00E-04	-7.50E-04	3.75E-04	3.75E-04
4.50E+00	1.00E+02	-2.50E-04	2.25E-04	2.25E-04	-7.50E-04	3.75E-04	3.75E-04
4.75E+00	1.50E+02	7.50E-04	-2.25E-04	-2.25E-04	6.51E-12	-2.64E-12	-3.87E-12
5.00E+00	2.00E+02	1.75E-03	-6.75E-04	-6.75E-04	7.50E-04	-3.75E-04	-3.75E-04

Définissons tout d'abord certaines grandeurs :

- $s = \sigma \frac{1}{2} tr(\sigma) \cdot I$ où I est la matrice identité le déviateur du tenseur des contraintes :
- $e = \epsilon \frac{1}{2} tr(\epsilon) . I$ où I est la matrice identité le déviateur du tenseur des déformations :

On souligne que les résultats dans intervalle du temps entre 0 et 1 seconde sont pour la partie monotone du chargement et ne sont pas prise en compte dans le calcul des grandeurs pour le comportement cyclique.

Ensuite, voici les solutions de références pour :

'DEPSPE': demi-amplitude de la déformation plastique équivalente :

$$\frac{\Delta \, \xi_{eq}^{p}}{2} = \frac{1}{2} \max_{t1} \max_{t2} \sqrt{\frac{2}{3} (\, \epsilon^{p}(t_{1}) - \, \epsilon^{p}(t_{2})) : (\, \epsilon^{p}(t_{1}) - \, \epsilon^{p}(t_{2}))} = 7.5 E - 4$$

'EPSPR1': demi-amplitude de la première déformation principale (avec la prise en compte du signe):

$$\frac{\epsilon_{max}^1 - \epsilon_{min}^1}{2} = 7.625 E - 04$$

'SIGNM1' :contrainte normale maximale sur le plan de la déformation principale:

$$max.(\sigma(t).n_1(t).n_1(t)) = 200 MPa$$

'APHYDR' : demi- amplitude de la pression hydrostatique ($\,P_a\,$)

$$P_a = \frac{P_{max} - P_{min}}{2} = 66.6666 \, MPa$$

'DENDIS': densité d'énergie dissipée:

$$W_{cy} = \int_{cylce} {\bf \sigma} : {\bf \dot c}^p \, dt = 0.45$$
 ' `DENDIE'` : densité d'énergie des distorsions élastiques :

$$W_e = \int_{cvlce} \langle \mathbf{s} : \dot{\mathbf{e}}^e \rangle dt = 0.173333$$

'DSIGEQ': demi-amplitude de la contrainte équivalente :

Responsable : Van Xuan TRAN

$$\frac{\Delta \sigma_{eq}}{2} = \frac{1}{2} \max_{tl} \max_{t2} \sqrt{\frac{3}{2} (s(t_1) - s(t_2)) : (s(t_1) - s(t_2))} = 200 MPa$$

'SIGPR1': demi-amplitude de la première contrainte principale (avec la prise en compte du signe):

$$\frac{\sigma_{max}^1 - \sigma_{min}^1}{2} = 100 MPa$$

'EPSNM1': déformation normale maximale sur le plan de la contrainte principale :

$$max_{t}(\epsilon(t).n_{1}(t).n_{1}(t)) = 1.75E-3$$

'INVA2s': demi-amplitude du deuxième invariant de la déformation :

$$J_{2}(\Delta \epsilon) = \frac{1}{2} \max_{tl} \max_{tl} \max_{t2} \sqrt{\frac{2}{3} (\boldsymbol{e}(t_{1}) - \boldsymbol{e}(t_{2})) : (\boldsymbol{e}(t_{1}) - \boldsymbol{e}(t_{2}))} = 1.616666E - 3$$

'DSITRE': demi-amplitude de la demi-contrainte Tresca:

$$\frac{\sigma_{max}^{Tresca} - \sigma_{min}^{Tresca}}{\Delta} = 50 MPa$$

'DEPTRE': demi-amplitude de la demi-déformation Tresca:

$$\frac{\epsilon_{max}^{Tresca} - \epsilon_{min}^{Tresca}}{4} = 6.0625E - 4$$

'EPSPAC': déformation plastique accumulé:

$$p = 3.67423E - 3$$

'DEPSEE': demi-amplitude de la déformation elastique équivalente :

$$\frac{\Delta \, \xi_{eq}^{p}}{2} = \frac{1}{2} \max_{tl} \max_{tl} \max_{t2} \sqrt{\frac{2}{3} (\, \, \epsilon(t_{1}) - \, \epsilon(t_{2})) : (\, \, \epsilon(t_{1}) - \, \epsilon(t_{2}))} = 0.00086666666$$

2.6 Résultats de référence pour la modélisation E

Les résultats sont obtenus avec le nœud $\,NI\,$.

t	$\sigma_{_{\chi\chi}}$	σ_{yy}	ϵ_{xx}^{tot}	ϵ_{yy}^{tot}	ϵ_{zz}^{tot}	ϵ_{xx}^p	ϵ^p_{yy}	ϵ^p_{zz}
0.00E+0	0.00E+00	0.00E+00	0.00E+00	0.00E+00	0.00E+00	0.00E+00	0.00E+00	0.00E+00
2.50E-1	3.00E+02	-2.00E+02	1.80E-03	-1.45E-03	-1.50E-04	-6.73E-19	-2.69E-18	2.84E-19
5.00E-1	6.00E+02	-4.00E+02	3.60E-03	-2.90E-03	-3.00E-04	-4.71E-19	-4.39E-18	2.61E-19
7.50E-1	9.00E+02	-6.00E+02	1.10E-02	-9.26E-03	-1.15E-03	5.61E-03	-4.91E-03	-7.01E-04
1.00E+0	1.20E+03	-8.00E+02	1.88E-02	-1.60E-02	-2.05E-03	1.16E-02	-1.02E-02	-1.45E-03
1.25E+0	9.00E+02	-6.00E+02	1.70E-02	-1.45E-02	-1.90E-03	1 .1 6 E-0 2	- 1. 02E-02	- 1. 4 5E-03
1.50E+0	6.00E+02	-4.00E+02	1.52E-02	-1.31E-02	-1.75E-03	1. 1 6E-02	-1.02E-02	- 1. 4 5E-03
1.75E+0	3.00E+02	-2.00E+02	1.34E-02	-1.16E-02	-1.60E-03	1. 1 6E-02	-1.02E-02	- 1. 4 5E-03
2.00E+0	2.30E-13	-3.07E-13	1.16E-02	-1.02E-02	-1.45E-03	1. 1 6E-02	-1.02E-02	- 1. 4 5E-03
2.25E+0	3.00E+02	-2.00E+02	1.34E-02	-1.16E-02	-1.60E-03	1. 1 6E-02	-1.02E-02	- 1. 4 5E-03
2.50E+0	6.00E+02	-4.00E+02	1.52E-02	-1.31E-02	-1.75E-03	1. 1 6E-02	-1.02E-02	- 1. 4 5E-03
2.75E+0	9.00E+02	-6.00E+02	1.70E-02	-1.45E-02	-1.90E-03	1. 1 6E-02	-1.02E-02	- 1. 4 5E-03
3.00E+0	6.00E+02	-4.00E+02	1.52E-02	-1.31E-02	-1.75E-03	1. 1 6E-02	-1.02E-02	- 1. 4 5E-03
3.25E+0	3.00E+02	-2.00E+02	1.34E-02	-1.16E-02	-1.60E-03	1. 1 6E-02	-1.02E-02	- 1. 4 5E-03
3.50E+0	-4.35E-14	-8.66E-13	1.16E-02	-1.02E-02	-1.45E-03	1. 1 6E-02	-1.02E-02	- 1. 4 5E-03

Date: 21/10/2013 Page: 15/46 Responsable: Van Xuan TRAN Clé: V3.04.135 Révision: 11817

On souligne que les résultats dans intervalle du temps entre 0 et 1 seconde sont pour la partie monotone du chargement et ne sont pas prise en compte dans le calcul des grandeurs pour le comportement cyclique.

Pour les solutions de références nous avons calculé l'endommagement (via ENDO1) avec les différentes grandeurs disponibles pour un chargement non périodique :

- 'SIPR1_1': première contrainte principale du premier sommet du sous cycle ($\sigma_1(1)$) et
- 'SIPR1 2': première contrainte principale du deuxième sommet du sous cycle ($\sigma_1(2)$):

On utilise la demi-amplitude de la contrainte du sommet du premier cycle, à savoir $600\,MPa$ et la demiamplitude de la contrainte du sommet du deuxième cycle, à savoir $450\,Mpa$ puis on ajoute les endommagements associés à ces deux amplitudes.

On évalue ici le critère suivante : $\frac{|SIPR1 - SIPR2|}{2}$

- avec la formule de Basquin : grandeur équivalente = $4098.3 \times (NBRUP^{-0.2693})$ NBRUP 1 = 1255et pour l'endommagement : D1 = 7.968963E - 04NBRUP = 3652 et pour l'endommagement : D2 = 2.738186E - 04 soit un endommagement total égal à : D=1.0707149E-03
- avec une interpolation de la courbe de Wöhler : on trouve NBRUPI = 742 et pour l'endommagement : D = 1.347073E - 03 . On trouve NBRUP2 = 1742 et pour l'endommagement : D = 5.741842E - 04 soit un endommagement total égal à : D=1.9212575E-03
- 'SITN1_1': contrainte normale sur le plan associé avec $\epsilon_1^{tot}(1)$ du premier sommet du sous-cycle et 'SITN1_2': contrainte normale sur le plan associé avec $\,\epsilon_1^{tot}(2)\,$ du deuxième sommet du sous-cycle :

On utilise la demi-amplitude de la contrainte associée $\epsilon_1^{tot}(1)$, à savoir $600\,MPa$ et la demi-amplitude de la contrainte associée $\epsilon_1^{tot}(2)$, à savoir $450\,MPa$ puis on ajoute les endommagements associés à ces deux amplitudes.

On évalue ici le critère suivante : $\frac{|SITNI - SITN2|}{2}$

- avec la formule de Basquin : grandeur équivalente = $4098.3 \times (NBRUP^{-0.2693})$ on trouve NBRUP1 = 1255 et pour l'endommagement : D1 = 7.968963E - 04 puis NBRUP2 = 3652 et pour l'endommagement : D2 = 2.738186E - 04 soit un endommagement total égal à : D=1.0707149E-03
- avec une interpolation de la courbe de Wöhler : on trouve NBRUPI = 742 et pour l'endommagement : D = 1.347073E - 03 on trouve NBRUP2 = 1742 et pour l'endommagement : D = 5.741842E - 04 soit un endommagement total égal à : D=1.9212575E-03
- 'SIPN1_1': contrainte normale sur le plan associé avec $\epsilon_1^p(1)$ du premier sommet du sous-cycle et 'SIPN1_2': contrainte normale sur le plan associé avec $\epsilon_1^p(2)$ du deuxième sommet du sous-cycle :

On utilise la valeur la demi-amplitude de la contrainte associée $\epsilon_1^p(1)$, à savoir $600\,Mp$ a et la demiamplitude de la contrainte associée $\epsilon_1^p(2)$, à savoir $450 \, Mpa$

On évalue ici le critère suivante : $\frac{SIPN1 - SIPN2}{2}$

Date: 21/10/2013 Page: 16/46 Clé: V3.04.135 Responsable: Van Xuan TRAN Révision: 11817

avec la formule de Basquin : grandeur equivalente = $4098.3 \times (NBRUP^{-0.2693})$ on trouve NBRUPI = 1255 et pour l'endommagement : DI = 7.968963E - 04 puis $NBRUP\ 2=3652$ et pour l'endommagement : $D2=2.738186\ E-04$ soit un endommagement total égal à : D=1.0707149E-03

- avec une interpolation de la courbe de Wöhler : on trouve NBRUPI = 742 et pour l'endommagement : D = 1.347073E - 03 on trouve NBRUP2 = 1742 et pour l'endommagement : D = 5.741842E - 04 soit un endommagement total égal à : D=1.9212575E-03
- <code>'SIGEQ_1'</code> : contrainte équivalente du premier sommet du sous-cycle $\sigma_{eq}(1)$ et
- ' <code>SIGEQ_2</code> ': contrainte équivalente du deuxième sommet du sous-cycle $\,\sigma_{ea}(2)\,$:

On calcule la contrainte équivalente pour SIGEQ_1 :

$$\frac{\Delta \sigma_{eq}}{2} = \frac{1}{2} \max_{t1} \max_{t2} \sqrt{\frac{3}{2} (\mathbf{s}(t_1) - \mathbf{s}(t_2)) : (\mathbf{s}(t_1) - \mathbf{s}(t_2)) = 871.78 \, MPa}$$

puis pour SIGEQ

GEQ_2:
$$\frac{\Delta \sigma_{eq}}{2} = \frac{1}{2} max_{t1} max_{t2} \sqrt{\frac{3}{2} (s(t_1) - s(t_2)) : (s(t_1) - s(t_2))} = 653.83 MPa$$

Et on évalue ici le critère suivante : $\frac{SIGEQ1 - SIGEQ2}{2}$

- avec la formule de Basquin : grandeur equivalente = $4098.3 \times (NBRUP^{-0.2693})$ on trouve NBRUP1=31 3 et pour l'endommagement : D1=3.1908789 E-03 puis NBRUP2 = 912 et pour l'endommagement : D2 = 1.0964061 E - 03 soit un endommagement total égal à : D=4.287285 E-03
- avec une interpolation de la courbe de Wöhler : on trouve NBRUP1 = 244 et pour l'endommagement : D = 4.1E - 03 on trouve NBRUP2 = 582 et pour l'endommagement : $D=1.7175686\mathrm{E}-03$ soit un endommagement total égal à : D = 5.8176 E - 03

Résultats de référence pour la modélisation F 2.7

Les résultats sont obtenus avec le nœud $\,NI\,$.

•Résultats obtenu avec sol NL :

t	$\sigma_{_{\chi\chi}}$	σ_{yy}	ϵ_{xx}^{tot}	ϵ_{yy}^{tot}	ϵ_{zz}^{tot}
0.00E+0	0.00E+00	0.00E+00	0.00E+00	0.00E+00	0.00E+00
2.50E-1	3.00E+02	-1.50E+02	1.725E-03	-1.20E-03	-2.25E-04
5.00E-1	6.00E+02	-3.00E+02	3.45E-03	-2.40E-03	-4.50E-04
7.50E-1	9.00E+02	-4.50E+02	5.175E-03	-3.60E-03	-6.75E-04
1.00E+0	1.20E+03	-6.00E+02	6.90E-03	-4.80E-03	-9.00E-04
1.25E+0	9.00E+02	-4.50E+02	5.175E-03	-3.60E-03	-6.75E-04
1.50E+0	6.00E+02	-3.00E+02	3.45E-03	-2.40E-03	-4.50E-04
1.75E+0	3.00E+02	-1.50E+02	1.725E-03	-1.20E-03	-2.25E-04
2.00E+0	8.82E-26	8.82E-26	-7,92E-33	- 1 . 39 E- 32	-1.85E-32
2.25E+0	3.00E+02	-1.50E+02	1.725E-03	-1.20E-03	-2.25E-04
2.50E+0	6.00E+02	-3.00E+02	3.45E-03	-2.40E-03	-4.50E-04
2.75E+0	9.00E+02	- 4.5 0E+ 02	5 .1 75 E-0 3	- 3 . 60 E-0 3	-6.75E-04
3.00E+0	6.00E+02	-3.00E+02	3.45E-03	-2.40E-03	-4.50E-04

Manuel de validation

Responsable: Van Xuan TRAN

Date: 21/10/2013 Page: 17/46 Clé: V3.04.135 Révision: 11817

3.25E+0	3.00E+02	-1.50E+02	1.725E-03	-1.20E-03	-2.25E-04
3.50E+0	7.88E-14	-5.15E-13	1.26E-18	-2.60E-18	3.52E-19

'EPSN1_1': déformation normale sur le plan associé avec $\sigma_1(1)$ du premier sommet du sous-cycle et

On utilise la demi-déformation totale la plus importante rencontrée lors du premier sous cycle, soit ici 0.00345 et la demi-déformation totale la plus importante rencontrée lors du deuxième sous cycle : 0.0025875.

Et on évalue ici le critère suivante : $\frac{|EPSN1 - EPSN2|}{2}$

- avec la formule de Manson : grandeur equivalente = $0.022524751 \times (NBRUP^{-0.1619})$ on trouve NBRUPI = 107892 et pour l'endommagement : DI = 9.268535 E - 06 on trouve NBRUP2 = 637811 et pour l'endommagement : D2 = 1.5678624479 E - 06 soit un endommagement total égal à : D=1.08363973E-05
- avec une interpolation de la courbe de Manson-Coffin : on trouve NBRUP1 = 3636 4 et pour l'endommagement : D1 = 2.74994 E - 05 on trouve NBRUP2 = 193932 et pour l'endommagement : D2 = 5.156443564 E-06 soit un endommagement total égal à : D = 3.2655868578 E - 05

<code>'ETPR1_1'</code> : première déformation totale principale du premier sommet du sous-cycle $\ \epsilon_1^{tot}(1)$ et

'ETPR1 2': première déformation totale principale du deuxième sommet du sous-cycle $\epsilon_1^{tot}(2)$:

On utilise la demi-déformation totale la plus importante rencontrée lors du premier sous cycle, soit ici 0.00345 et la demi-déformation totale la plus importante rencontrée lors du deuxième sous cycle : 0.0025875.

Et on évalue ici le critère suivante : $\frac{|ETPR1 - ETPR2|}{2}$

- avec la formule de Manson : grandeur equivalente = $0.022524751 \times (NBRUP^{-0.1619})$ on trouve NBRUPI = 107892 et pour l'endommagement : DI = 9.268535 E - 06 on trouve NBRUP2 = 637811et pour l'endommagement : D2 = 1.5678624479 E - 06un endommagement total égal à : D=1.08363973E-05
- avec une interpolation de la courbe de Manson-Coffin : on trouve NBRUPI = 36364 et pour l'endommagement : DI = 2.74994 E - 05NBRUP2 = 193932 et pour l'endommagement : D2 = 5.156443564 E - 06 soit un endommagement total égal à : D = 3.2655868578 E - 05

'ETEQ_1': déformation totale équivalente du premier sommet du sous-cycle $\epsilon_{eq}^{tot}(1)$ et

<code>'ETEQ_2'</code> : déformation totale équivalente du deuxième sommet du sous-cycle $\epsilon_{eq}^{tot}(2)$

On calcule la déformation totale équivalente pour le premier sous-cycle avec la formule : $\epsilon_{eq} = \sqrt{\frac{2}{2}}e$: e et

on trouve $\frac{1}{2}\epsilon_{eq}^{tot}(1)=0.0034394767$. Pour le deuxième sous-cycle : $\frac{1}{2}\epsilon_{eq}^{tot}(2)=0.0025796$

avec la formule de Manson : grandeur_equivalente = $0.022524751 \times (NBRUP^{-0.1619})$

^{&#}x27; EPSN 1 2 ': déformation normale sur le plan associé avec $\sigma_1(2)$ du deuxième sommet du sous-cycle :

Responsable : Van Xuan TRAN

on trouve NBRUP1=109947 et pour l'endommagement : $D1=9.09528647\,E-06$ on trouve NBRUP2=649960 et pour l'endommagement : $D2=1.5385558\,E-06$ soit un endommagement total égal à : $D=1.0633842276096\,E-05$

avec une interpolation de la courbe de Manson-Coffin :

on trouve NBRUP1=36929 et pour l'endommagement : $D1=2.707933\,E-05$ on trouve NBRUP2=197585 et pour l'endommagement : $D2=5.061111575\,E-06$ soit un endommagement total égal à : $D=3.214044324622\,E-05$

• Résultats obtenu avec SOL NL2 :

t	σ_{xx}	ϵ_{xx}^{tot}	ϵ_{yy}^{tot}	ϵ_{zz}^{tot}
0.00E+0	0.00E+00	0.00E+00	0.00E+00	0.00E+00
5.00E-1	6.00E+02	3.00E-03	-9.00E-04	-9.00E-04
1.00E+0	1.20E+03	1.05E-02	-4.05E-03	-4.05E-03
1.50E+0	6.00E+02	7.50E-03	-3.15E-03	-3.15E-03
2.00E+0	-9 . 12E-1 3	4.50E-03	-2.25E-03	-2.25E-03
2.5625E+0	-6.75E+02	-1.91E-13	-6.75E-04	-6.75E-04
3.0625E+0	1.125E+02	3.9375E-03	-1.86E-03	-1.86E-03
3.5625E+0	9.00E+02	7.875E-03	-3.0375E-03	-3.0375E-03
4.0625E+0	1.125E+02	3.9375E-03	- 1.86 E-03	- 1.86 E-03
4.5625E+0	-6.75E+02	-1.91E-13	- 6.75 E-0 4	-6.75E-04

<code>'EPSN1_1'</code> : déformation normale sur le plan associé avec $\sigma_1(1)$ du premier sommet du sous-cycle et

On utilise la demi-déformation totale la plus importante rencontrée lors du premier sous cycle, soit ici $0.00525\,$ et la demie déformation totale la plus importante rencontrée lors du deuxième sous cycle : $0.0039375\,$.

Et on évalue ici le critère suivante : $\frac{|\mathit{EPSN1} - \mathit{EPSN2}|}{2}$

- avec la formule de Manson : grandeur_equivalente = $0.022524751 \times (NBRUP^{-0.1619})$ on trouve NBRUP1 = 8067 et pour l'endommagement : D1 = 1.239547 E 04 on trouve NBRUP2 = 47691 et pour l'endommagement : D2 = 2.0968145 E 05 soit un endommagement total égal à : D = 1.449229 E 04
- avec une interpolation de la courbe de Manson-Coffin : on trouve NBRUPI=5260 et pour l'endommagement : $DI=1.901065\,E-04$ on trouve NBRUP2=19698 et pour l'endommagement : $D2=5.0767\,E-05$ soit un endommagement total égal à : $D=2.408735\,E-04$

'ETPR1_1': première déformation totale principale du premier sommet du sous-cycle $\epsilon_1^{tot}(1)$ et 'ETPR1_2': première déformation totale principale du deuxième sommet du sous-cycle $\epsilon_1^{tot}(2)$:

On utilise la demi-déformation totale la plus importante rencontrée lors du premier sous cycle, soit ici

On utilise la demi-déformation totale la plus importante rencontrée lors du premier sous cycle, soit ic 0.00345 et la demi-déformation totale la plus importante rencontrée lors du deuxième sous cycle : 0.0025875 .

Et on évalue ici le critère suivante : $\frac{|ETPR1 - ETPR2|}{2}$

^{&#}x27;EPSN1 2': déformation normale sur le plan associé avec $\sigma_1(2)$ du deuxième sommet du sous-cycle :

Date: 21/10/2013 Page: 19/46 Responsable: Van Xuan TRAN Clé: V3.04.135 Révision: 11817

- avec la formule de Manson : grandeur equivalente = $0.022524751x(NBRUP^{-0.1619})$ on trouve NBRUPI = 8067 et pour l'endommagement : DI = 1.239547 E - 04 on trouve NBRUP2 = 47691 et pour l'endommagement : D2 = 2.0968145 E - 05 soit un endommagement total égal à : D = 1.449229 E - 04
- avec une interpolation de la courbe de Manson-Coffin : on trouve NBRUPI = 5260 et pour l'endommagement : DI = 1.901065 E - 04 on trouve NBRUP2 = 19698 et pour l'endommagement : D2 = 5.0767E - 05 soit un endommagement total égal à : D=2.408735 E-04

<code>'ETEQ_1'</code> : déformation totale équivalente du premier sommet du sous-cycle $\epsilon_{eq}^{tot}(1)$ et

<code>'ETEQ_2'</code> : déformation totale équivalente du deuxième sommet du sous-cycle $\epsilon_{ea}^{tot}(1)$

On calcule la déformation totale équivalente pour le premier sous-cycle avec la formule : $\epsilon_{eq} = \sqrt{\frac{2}{2}}e$: e

on trouve $\frac{1}{2}\epsilon_{eq}^{tot}(1)=0.004625$. Pour le deuxième sous-cycle, on trouve $\frac{1}{2}\epsilon_{eq}^{tot}(2)=0.0034125$

- avec la formule de Manson : grandeur equivalente = $0.022524751 \times (NBRUP^{-0.1619})$ on trouve NBRUPI = 17650 et pour l'endommagement : DI = 5.6657 E - 05 on trouve NBRUP2 = 115427 et pour l'endommagement : D2 = 8.66351 E - 06 soit un endommagement total égal à : D = 6.53204991 E - 05
- avec une interpolation de la courbe de Manson-Coffin : on trouve NBRUPI = 9411 et pour l'endommagement : DI = 1.062557 E - 04 on trouve NBRUP2 = 38423 et pour l'endommagement : D2 = 2.60258665 E - 05 soit un endommagement total égal à : D = 1.322816 E - 04

•Résultats obtenu avec SOL NL3 :

t	$\sigma_{_{\chi\chi}}$	ϵ_{xx}^{tot}	ϵ_{yy}^{tot}	ϵ_{zz}^{tot}	ϵ_{xx}^p	ϵ^p_{yy}	ϵ_{zz}^p
0.00E+0	0.00E+00	0.00E+00	0.00E+00	0.00E+00	0.00E+00	0.00E+00	0.00E+00
5.00E-1	9.00E+02	4.50E-03	-1.35E-03	-1.35E-03	1.51E-18	1.09E-18	-7.51E-19
1.00E+0	1.80E+03	2.25E-02	-9.45E-03	-9.45E-03	1.35E-02	-6.75E-03	-6.75E-03
1.50E+0	6.00E+02	1.65E-02	-7.65E-03	-7.65E-03	1.35E-02	-6.75E-03	-6.75E-03
2.00E+0	-6.00E+02	1.50E-03	-1.35E-03	-1.35E-03	4.50E-03	- 2 . 25 E-0	- 2 . 25 E-0
2.50E+0	9.00E+02	9.00E-03	-3.60E-03	-3.60E-03	4 . 50 E-0 3	3	3
3.00E+0	2.40E+03	3.45E-02	-1.485E-02	-1.485E-02	2 . 25 E-02	-2.25E-03	-2.25E-03
3.50E+0	6.00E+02	2.55E-02	-1.215E-02	-1.215E-02	2 . 25 E-02	-1.125E-02	-1.125E-02
3.91667E+0	-9.00E+02	-4.50E-03	1.35 E-03	1.35E-03	-5.55 E-11	-1.125E-02	-1.125E-02
						2.69E-11	2 . 86 E- 11

Pour ce faire une meilleure idée de ce qui nous intéresse ici, à savoir ϵ_{xx}^p puisque les valeurs maximales de la déformation plastique sont suivant la direction xx, voici l'évolution de ϵ^p_{xx} en fonction du temps :

Page: 20/46

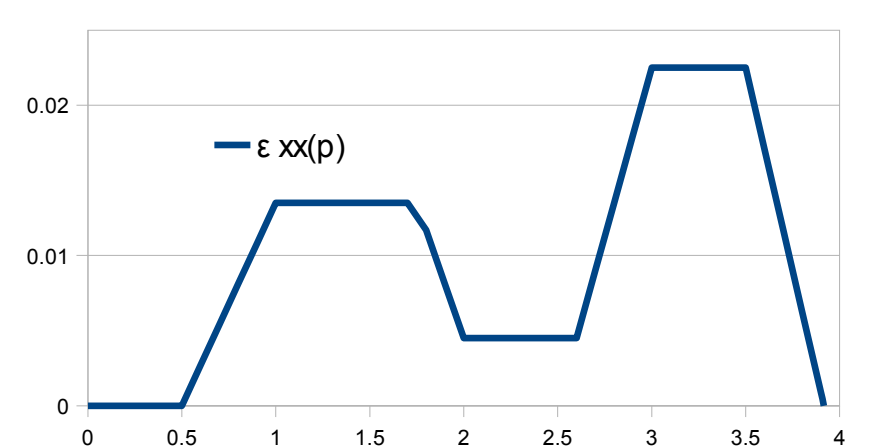
Révision: 11817

Date: 21/10/2013

Clé: V3.04.135

Titre : SSLV135 – Critères d'amorçage en fatigue sous char[...]

Responsable : Van Xuan TRAN



'EPPR1_1': première déformation plastique principale du premier sommet du sous-cycle $\epsilon_1^p(1)$ et 'EPPR1_2': première déformation plastique principale du deuxième sommet du sous-cycle $\epsilon_1^p(2)$:

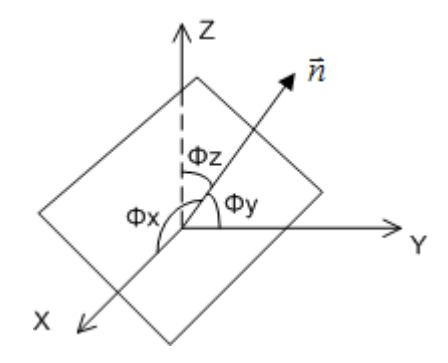
On évalue ici le critère suivante : $\frac{|EPPRI - EPPR2|}{2}$

Attention, ici la valeur de ϵ_{xx}^p n'est pas nulle à la fin du premier sous cycle, donc pour $\frac{EPPR1}{2}$ on obtient : $\frac{0.0135-0.0045}{2}$ = 0.0045 . Pour $\frac{EPPR2}{2}$, on obtient plus directement : 0.01125 .

- avec la formule de Manson : grandeur_equivalente = $0.022524751 \times (NBRUP^{-0.1619})$ on trouve NBRUP1 = 20905 et pour l'endommagement : D1 = 4.7836 E 05 on trouve NBRUP2 = 73 et pour l'endommagement : D2 = 1.37307 E 02 soit un endommagement total égal à : D = 1.377855 E 02
- avec une interpolation de la courbe de Manson-Coffin : on trouve NBRUPI = 10672 et pour l'endommagement : $DI = 9.37 \, E 05$ on trouve NBRUP2 = 478 et pour l'endommagement : $D2 = 2.092\,1444\,E 03$ soit un endommagement total égal à : $D = 2.185844\,E 03$

2.8 Résultats de référence pour la modélisation G

Les solutions analytiques de l'orientation du plan critique se trouvent dans le [bib4]. L'orientation du plan critique est définie par des angles (ϕ_x , ϕ_y , ϕ_z) entre le vecteur normal du plan critique et des axes comme le montre la figure au-dessus.



Date: 21/10/2013 Page : 21/46 Clé: V3.04.135 Responsable: Van Xuan TRAN Révision: 11817

On note que pour les critères DANG VAN MODI AC et de MATAKE MODI AC, le plan critique est le plan du maximum cisaillement. Pour les critères de DANG VAN MODI AV, de MATAKE MODI AC et de FATESOCI MODI AV le plan critique est le plan du maximum dommage.

Avec les conditions du chargement listés dans la Section 1.4.6, les solutions analytiques de référence pour cette modélisation sont les suivantes

• Critère de dang van modi ac

L'angle entre le vecteur normale du plan critique et l'axe $\,Z\,$ est $\,45\,$ degrés.

• Critère de MATAKE MODI AC

L'angle entre le vecteur normale du plan critique et l'axe Z est 45 degrés.

• Critère de DANG VAN MODI AV

L'angle entre le vecteur normale du plan critique et l'axe Z est 45 degrés.

• Critère de MATAKE MODI AV

L'angle entre la vecteur normale du plan critique et l'axe Z en fonction de α est

$$\phi_z = \arccos(\frac{\sqrt{2}}{2}\sqrt{1 - \sqrt{1 - \frac{1}{a^2 + 2a^2\alpha + a^2\alpha^2 + 1}}})$$

où a est un propriété matérial obtenu par le paramètre MATAKE A et a=0.05 est utilisé dans ce castest.

• Critère de FATESOCI MODI AV

L'angle entre le vecteur normale du plan critique et l'axe Z en fonction de α est

$$\phi_z = \arccos(\frac{\sqrt{2}}{4}\sqrt{5 + A_1 - \sqrt{1 + A_1^2 + 8}})$$

avec $A_1 = \frac{2S_y}{a\sigma_{y,a}(1+\alpha)}$. La limite d'élasticité $S_y = 208\,MPa$ et a=0.05 . Donc, le paramètre de FATSOC A est $a/S_v = 0.00024$

2.9 Résultats de référence pour la modélisation H

Dans cette modélisation, les résultats de référence sont analytiques et donnés dans le tableau ci-dessous.

Définissons tout d'abord certaines grandeurs :

- $s = \sigma \frac{1}{3} tr(\sigma)$. I où I est la matrice identité le déviateur du tenseur des contraintes :
- $e = \epsilon \frac{1}{2}tr(\epsilon)$. I où I est la matrice identité le déviateur du tenseur des déformations :

On souligne que les résultats dans intervalle du temps entre 0 et 1 seconde sont pour la partie monotone du chargement et ne sont pas prise en compte dans le calcul des grandeurs pour le comportement cyclique.

Il est noté qu'il existe deux types de déformations de cisaillement : le type d'ingénierie \forall_{ij} ($i \neq j$) et ϵ_{ij} ($i \neq j$). Noter que $\gamma_{ij} = 2$ ϵ_{ij} . Pour 'DGAMCR', 'MGAMCR', 'MGAMPC', on le type tensoriel a utilisé les déformations du type d'ingénierie \hat{Y}_{ij} .

Grandeurs	'SIGEQ1'	'ENDO1'	'NBRUP1'	'VNM1X', 'VNM1Y', 'VNM1Z'
'DTAUCR'	100 MPa	1.028E-6	9.73E5	(0.707, -0.707), 0.707, 0
'DGAMCR'	9.73E5	1.583E-4	6.3163E3	(0.707, -0.707), 0.707, 0
'DSINCR'	200	1.348E-5	7.418E4	(-1,1), 0.0174, 0
'DEPNCR'	1.75E-3	2.11E-5	4.74E4	(-1, 1), 0.0174, 0
'MTAUCR'	100 MPa	1.028E-6	9.73E5	(0.707, -0.707), 0.707, 0

Code_Aster

Titre: SSLV135 – Critères d'amorçage en fatigue sous char[...]

Date: 21/10/2013 Page: 22/46

Responsable: Van Xuan TRAN

Clé: V3.04.135 Révision: 11817

'MGAMCR'	9.73E5	1.583E-4	6.3163E3	(0.707, -0.707), 0.707, 0
'MSINCR'	200	1.348E-5	7.418E4	(-1,1), 0.0174, 0
'MEPNCR'	1.75E-3	2.11E-5	4.74E4	(-1, 1), 0.0174, 0
'DGAMPC'	1.125E-3	1.3782E-6	7.256E5	(0.707, -0.707), 0.707, 0
'DEPNPC'	0.75E-3	1.126E-7	8.88E6	(-1,1), 0.0174, 0
'MGAMPC'	1.125E-3	1.3782E-6	7.256E5	(0.707, -0.707), 0.707, 0
'MEPNPC'	0.75E-3	1.126E-7	8.88E6	(-1,1), 0.0174, 0

Page: 23/46 Date: 21/10/2013 Responsable: Van Xuan TRAN Clé: V3.04.135 Révision: 11817

2.10 Références bibliographiques

- 1.ANGLES J. « Critères multiaxiaux d'amorçage en fatigue à grand nombre d cycles, plan critique, DANG VAN », Projet FATMAV, Note EDF HT-64/03/015A, 2003
- 2.ANGLES J., PAPACONSTANTINOU T. « Critères multiaxiaux d'amorçage en fatigue à grand nombre d cycles sous chargement non périodique », Projet FATMAV, Note EDF HT-64/04/006A, 2004
- 3.ANGLES J. « Synthèse sur les critères d'amorçage en fatigue multiaxiale à grand nombre d cycles développés dans Code_Aster », Projet Fatigue Thermique, Note EDF HT-64/05/019A, 2005
- 4.LEI B., TRAN V.-X. « Report on the 2nd semi-anual meeting for the collaborative PhD project between EDF R&D and Tsinghua University (July 2012 – January 2013) », Compte Rendu CR-AMA-13.021

Page : 24/46

Titre: SSLV135 – Critères d'amorçage en fatigue sous char[...]

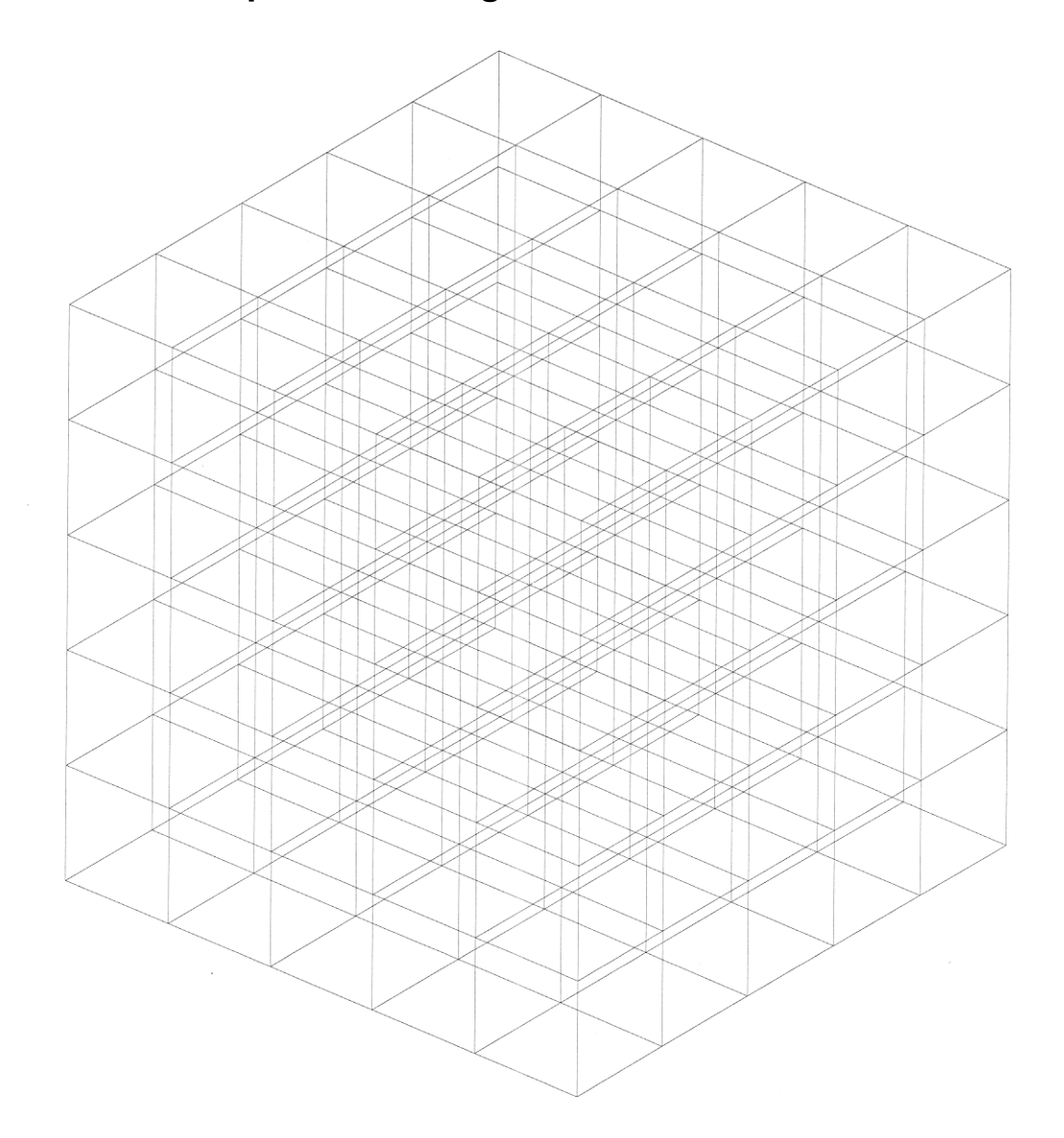
Date : 21/10/2013 Responsable: Van Xuan TRAN Clé: V3.04.135 Révision: 11817

Modélisation A 3

Caractéristiques de la modélisation 3.1

Ce cas-test teste des critères matake modi ac, dang van modi ac, vmis tresca, critère en formule pour le chargement périodique et bi-axial proportionnel;

Caractéristiques du maillage 3.2



Modélisation 3D: 125 éléments de volume quadratiques: HEXA8.

Figure du maillage du cube

Le maillage du cube a été obtenu à partir de la version 2000 du mailleur GIBI.

Nombre de nœuds: 216 Nombre de mailles: 465

Date: 21/10/2013 Page: 25/46 Responsable: Van Xuan TRAN Clé: V3.04.135 Révision: 11817

Grandeurs testées et résultats 3.3

• Critère 'MATAKE MODI AC' et critère en formule associé :

Pour les résultats au nœud NI et à la maille M60 (point Gauss 3)

L'option COURBE GRD VIE = 'WOHLER' et

<u>L'option courbe grd vie = 'form vie' et formule vie = whol:</u>

Identification	Type de référence	Valeur de référence	Tolérance
$\Delta \tau(n_1)$	'ANALYTIQUE'	1 . 500000E + 02	1.0E-10
composante x de n_1	'ANALYTIQUE'	- 7.071068E - 01	1.0E-10
composante y de n_1	'ANALYTIQUE'	7.071068E – 01	1.0E-10
composante z de n_1	'ANALYTIQUE'	0.0	1.0E-10
$N_{\max}(n_1)$	'ANALYTIQUE'	5.000000E+01	1.0E-10
$N_m(n_1)$	'ANALYTIQUE'	0.0	1.0E-10
$\varepsilon_{\max}(n_1)$	'ANALYTIQUE'	1.750000E - 04	1.0E-10
$\varepsilon_m(n_1)$	'ANALYTIQUE'	0.0	1.0E-10
$\sigma_{eq}(n_1)$	'ANALYTIQUE'	3.000000E+02	1.0E-10
$Nb_{cr}(n_1)$	'ANALYTIQUE'	1.094600E+04	1.0E-10
$ENDO\left(n_{1}\right)$	'ANALYTIQUE'	9.135647E - 05	1.0E-10
$\Delta \tau (n_2)$	'ANALYTIQUE'	1 . 500000E + 02	1.0E-10
composante x de n_2	'ANALYTIQUE'	7.071068E - 01	1.0E-10
composante y de n_2	'ANALYTIQUE'	7.071068E - 01	1.0E-10
composante z de n_2	'ANALYTIQUE'	0.0	1.0E-10
$N_{\text{max}}(n_2)$	'ANALYTIQUE'	5.000000E+01	1.0E-10
$N_m(n_2)$	'ANALYTIQUE'	0.0	1.0E-10
$\varepsilon_{\max}(n_2)$	'ANALYTIQUE'	1.750000E - 04	1.0E-10
$\varepsilon_m(n_2)$	'ANALYTIQUE'	0.0	1.0E-10
$\sigma_{eq}(n_2)$	'ANALYTIQUE'	3.000000E+02	1.0E-10
$Nb_{cr}(n_2)$	'ANALYTIQUE'	1.094600E+04	1.0E-10
$ENDO(n_2)$	'ANALYTIQUE'	9.135647E - 05	1.0E-10

<u>L'option courbe grd vie = 'form vie' et formule vie = whol f:</u>

Identification Type de référence	Valeur de référence	Tolérance
----------------------------------	---------------------	-----------

Titre: SSLV135 – Critères d'amorçage en fatigue sous char[...]

Date: 21/10/2013 Page: 26/46

Responsable: Van Xuan TRAN

Clé: V3.04.135 Révision: 11817

$\Delta au(n_1)$	'ANALYTIQUE'	1 . 500000E + 02	1.0E-10
composante x de n_1	'ANALYTIQUE'	- 7.071068E - 01	1.0E-10
composante y de n_1	'ANALYTIQUE'	7.071068E - 01	1.0E-10
composante z de n_1	'ANALYTIQUE'	0.0	1.0E-10
$N_{\max}(n_1)$	'ANALYTIQUE'	5.000000E+01	1.0E-10
$N_m(n_1)$	'ANALYTIQUE'	0.0	1.0E-10
$\varepsilon_{\max}(n_1)$	'ANALYTIQUE'	1.750000E – 04	1.0E-10
$\varepsilon_m(n_1)$	'ANALYTIQUE'	0.0	1.0E-10
$\sigma_{eq}(n_1)$	'ANALYTIQUE'	3.000000E+02	1.0E-10
$Nb_{cr}(n_1)$	'ANALYTIQUE'	1.094600E+04	4.0E-03
$ENDO(n_1)$	'ANALYTIQUE'	1.6519E+04	4.0E-03
Δ ¬(n ₂)	'ANALYTIQUE'	6.05356E-05	1.0E-10
composante x de n_2	'ANALYTIQUE'	7.071068E - 01	1.0E-10
composante y de n_2	'ANALYTIQUE'	7.071068E - 01	1.0E-10
composante z de n_2	'ANALYTIQUE'	0.0	1.0E-10
$N_{\max}(n_2)$	'ANALYTIQUE'	5.000000E+01	1.0E-10
$N_m(n_2)$	'ANALYTIQUE'	0.0	1.0E-10
$\varepsilon_{\max}(n_2)$	'ANALYTIQUE'	1.750000E – 04	1.0E-10
$\varepsilon_{m}(n_{2})$	'ANALYTIQUE'	0.0	1.0E-10
$\sigma_{eq}(n_2)$	'ANALYTIQUE'	3.000000E+02	1.0E-10
$Nb_{cr}(n_2)$	'ANALYTIQUE'	1.6519E+04	4.0E-03
$ENDO(n_2^{})$	'ANALYTIQUE'	6.05356E-05	4.0E-03

• Critère 'DANG_VAN_MODI_AC' et critère en formule associé :

Pour les résultats au nœud NI et à la maille M60 (point Gauss 3)

<u>L'option COURBE GRD VIE = 'WOHLER' et</u>

L'option courbe grd vie = 'form vie' et formule vie = 'whol':

Identification	Type de référence	Valeur de référence	Tolérance
$\Delta \tau(n_1)$	'ANALYTIQUE'	1 . 500000E + 02	1.0E-10
composante x de n_1	'ANALYTIQUE'	7.071068E – 01	1.0E-10
composante y de n_1	'ANALYTIQUE'	7.071068E - 01	1.0E-10

Manuel de validation

Fascicule v3.04 : Statique linéaire des systèmes volumiques

Titre : SSLV135 – Critères d'amorçage en fatigue sous char[...]

Date : 21/10/2013 Page : 27/46

Responsable : Van Xuan TRAN

Clé : V3.04.135 Révision : 11817

composante z de n_1	'ANALYTIQUE'	0.0	1.0E-10
$N_{\max}(n_1)$	'ANALYTIQUE'	5.000000E+01	1.0E-10
$N_m(n_1)$	'ANALYTIQUE'	0.0	1.0E-10
$\xi_{\max}(n_1)$	'ANALYTIQUE'	1.750000E - 04	1.0E-10
$\varepsilon_m(n_1)$	'ANALYTIQUE'	0.0	1.0E-10
$\sigma_{eq}(n_1)$	'ANALYTIQUE'	2.750000E+02	1.0E-10
$Nb_{cr}(n_1)$	'ANALYTIQUE'	1.490300E+04	1.0E-10
$ENDO(n_1)$	'ANALYTIQUE'	6.709959E - 05	1.0E-10
$\Delta \tau (n_2)$	'ANALYTIQUE'	1 . 500000E + 02	1.0E-10
composante x de n_2	'ANALYTIQUE'	- 7.071068E - 01	1.0E-10
composante y de n_2	'ANALYTIQUE'	7.071068E – 01	1.0E-10
composante z de n_2	'ANALYTIQUE'	0.0	1.0E-10
$N_{\max}(n_2)$	'ANALYTIQUE'	5.000000E+01	1.0E-10
$N_m(n_2)$	'ANALYTIQUE'	0.0	1.0E-10
$\varepsilon_{\max}(n_2)$	'ANALYTIQUE'	1.750000E - 04	1.0E-10
$\varepsilon_{m}(n_{2})$	'ANALYTIQUE'	0.0	1.0E-10
$\sigma_{eq}(n_2)$	'ANALYTIQUE'	2.750000E+02	1.0E-10
$Nb_{cr}(n_2)$	'ANALYTIQUE'	1.490300E+04	1.0E-10
$ENDO(n_2)$	'ANALYTIQUE'	6.709959E - 05	1.0E-10

<u>L'option courbe grd vie = 'form vie' et formule vie = whol f:</u>

Identification	Type de référence	Valeur de référence	Tolérance
$\Delta \tau(n_1)$	'ANALYTIQUE'	1 . 500000E + 02	1.0E-10
composante x de n_1	'ANALYTIQUE'	7.071068E – 01	1.0E-10
composante y de n_1	'ANALYTIQUE'	7.071068E – 01	1.0E-10
composante z de n_1	'ANALYTIQUE'	0.0	1.0E-10
$N_{\max}(n_1)$	'ANALYTIQUE'	5.000000E+01	1.0E-10
$N_m(n_1)$	'ANALYTIQUE'	0.0	1.0E-10
$\varepsilon_{\max}(n_1)$	'ANALYTIQUE'	1.750000E - 04	1.0E-10
$\varepsilon_m(n_1)$	'ANALYTIQUE'	0.0	1.0E-10

Manuel de validation

Fascicule v3.04 : Statique linéaire des systèmes volumiques

Code Aster

Titre: SSLV135 – Critères d'amorçage en fatigue sous char[...]

Date: 21/10/2013 Page: 28/46

Responsable: Van Xuan TRAN

Clé: V3.04.135 Révision: 11817

$\sigma_{eq}(n_1)$	'ANALYTIQUE'	2.750000E+02	1.0E-10
$Nb_{cr}(n_1)$	'ANALYTIQUE'	2.2822E+04	5.0E-03
$ENDO(n_1)$	'ANALYTIQUE'	4.381737E-05	5.0E-03
$\Delta \tau(n_2)$	'ANALYTIQUE'	1 . 500000E + 02	1.0E-10
composante x de n_2	'ANALYTIQUE'	- 7.071068E - 01	1.0E-10
composante y de n_2	'ANALYTIQUE'	7.071068E – 01	1.0E-10
composante z de n_2	'ANALYTIQUE'	0.0	1.0E-10
$N_{\max}(n_2)$	'ANALYTIQUE'	5.000000E+01	1.0E-10
$N_m(n_2)$	'ANALYTIQUE'	0.0	1.0E-10
$\varepsilon_{\max}(n_2)$	'ANALYTIQUE'	1.750000E - 04	1.0E-10
$\varepsilon_m(n_2)$	'ANALYTIQUE'	0.0	1.0E-10
$\sigma_{eq}(n_2)$	'ANALYTIQUE'	2.750000E+02	1.0E-10
$Nb_{cr}(n_2)$	'ANALYTIQUE'	2.2822E+04	5.0E-03
$ENDO\left(n_{2}\right)$	'ANALYTIQUE'	4.381737E-05	5.0E-03

• Critère ' VMIS_TRESCA '

Pour nœuds: N1; N206; Maille: M60 (Point de Gauss: 3)

Identification	Type de référence	Valeur de référence	Tolérance
σ_{xx} (Instant : 3)	'ANALYTIQUE'	- 1.00000E+02	1.0E-10
σ_{yy} (Instant : 3)	'ANALYTIQUE'	2.00000E+02	1.0E-10
σ_s (VMIS)	'ANALYTIQUE'	529.15026E+02	1.0E-10
$\sigma_{\scriptscriptstyle S}$ (TRESCA)	'ANALYTIQUE'	600.00000E+02	1.0E-10

Pour nœuds: N1; N206; Maille: M60 (Point de Gauss: 7)

Identification	Type de référence	Valeur de référence	Tolérance
σ_{xx} (Instant : 3)	'ANALYTIQUE'	- 1.00000E+02	1.0E-10
σ_{yy} (Instant : 3)	'ANALYTIQUE'	2.00000E+02	1.0E-10
σ_s (VMIS)	'ANALYTIQUE'	529.15026E+02	1.0E-10
σ_s (TRESCA)	'ANALYTIQUE'	600.00000E+02	1.0E-10

Page : 29/46 Date: 21/10/2013 Responsable: Van Xuan TRAN Clé: V3.04.135 Révision: 11817

• Critère en formule retrouvant ' VMIS TRESCA '

Résultats au nœud NI et à la maille M60 (point Gauss 3 et 7)

Identification	Type de référence	Valeur de référence	Tolérance
o _s (VMIS)	'ANALYTIQUE'	529.15026E+02	1.0E-10

Titre : SSLV135 – Critères d'amorçage en fatique sous char[...] Date: 21/10/2013 Page: 30/46

Responsable: Van Xuan TRAN Clé: V3.04.135 Révision: 11817

Modélisation B 4

4.1 Caractéristiques de la modélisation

Ce cas-teste test des critères matake modi av, dang van modi av, fatesoci modi av, critère en formule pour le chargement non-périodique et bi-axial et proportionnel ;

4.2 Caractéristiques du maillage

Identique à la modélisation A.

4.3 Grandeurs testées et résultats

• Critère 'MATAKE MODI AV' et critère en formule associé

Pour les résultats au nœud N206 et à la maille M60 (point Gauss 3)

L'option COURBE GRD_VIE='WOHLER' et l

<u>L'option courbe grd vie = 'form vie' et formule vie = whol:</u>

Identification	Type de référence	Valeur de référence
composante x de n_1 et n_2	'AUTRE_ASTER'	-0.38268343236509 0.38268343236509
composante y de n_1 et n_2	'AUTRE_ASTER'	0.92718385456679 0.92387953251129
composante z de n_1 et n_2	'AUTRE_ASTER'	0.00000000000E+00
$ENDO(n_1)$	'AUTRE_ASTER'	7.0532362250863E-04

Dans le tableau ci-dessus, les composantes x et y de n_1 et n_2 ont deux valeurs parce qu'il existe deux vecteurs qui correspondent à la même valeur d'endommagement $ENDO(n_1) = ENDO(n_2)$.

<u>L'option courbe grd vie= 'form vie' et formule vie = whol f:</u>

Identification	Type de référence	Valeur de référence
composante x de n_1 et n_2	'AUTRE_ASTER'	-0.38268343236509 0.38268343236509
composante y de n_1 et n_2	'AUTRE_ASTER'	0.92718385456679 0.92387953251129
composante z de n_1 et n_2	'AUTRE_ASTER'	0.00000000000E+00
$ENDO(n_1)$	'AUTRE_ASTER'	3.3180845213285E-04

Dans le tableau ci-dessus, les composantes x et y de n_1 et n_2 ont deux valeurs parce qu'il existe deux vecteurs qui correspondent à la même valeur d'endommagement $ENDO(n_1) = ENDO(n_2)$.

• Critère 'DANG VAN MODI AV' et critère en formule associé

Pour les résultats au nœud N206 et à la maille M60 (point Gauss 3)

L'option COURBE GRD VIE='WOHLER' et

<u>L'option courbe grd vie='form vie' et formule vie = whol:</u>

Identification	Type de référence	Valeur de référence

Fascicule v3.04 : Statique linéaire des systèmes volumiques

Titre : SSLV135 – Critères d'amorçage en fatigue sous char[]	Date : 21/10/2013	Page : 31/46
Responsable : Van Xuan TRAN	Clé : V3.04.135	Révision : 11817

composante x de n_1 et n_2	'AUTRE_ASTER'	-7.0710678118655E-01 7.0710678118655E-01
composante y de n_1 et n_2	'AUTRE_ASTER'	7.0710678118655E-01
composante z de n_1 et n_2	'AUTRE_ASTER'	0.00000000000E+00
$ENDO\left(n_{1}\right)$	'AUTRE_ASTER'	1.3419917535855E-04

Dans le tableau ci-dessus, les composantes x et y de n_1 et n_2 ont deux valeurs parce qu'il existe deux vecteurs qui correspondent à la même valeur d'endommagement $ENDO(n_1) = ENDO(n_2)$.

<u>L'option Courbe grd vie= 'form vie' et formule vie = whol f:</u>

Identification	Type de référence	Valeur de référence
composante x de n_1 et n_2	'AUTRE_ASTER'	-7.0710678118655E-01 7.0710678118655E-01
composante y de n_1 et n_2	'AUTRE_ASTER'	7.0710678118655E-01
composante z de n_1 et n_2	'AUTRE_ASTER'	0.00000000000E+00
$ENDO\left(n_{1}\right)$	'AUTRE_ASTER'	8.7960237413997E-05

Dans le tableau ci-dessus, les composantes x et y de n_1 et n_2 ont deux valeurs parce qu'il existe deux vecteurs qui correspondent à la même valeur d'endommagement $ENDO(n_1) = ENDO(n_2)$.

• Critère 'FATESOCI MODI AV' et critère en formule associé :

Pour les résultats au nœud NI et à la maille M60 (point Gauss 3) L'option COURBE_GRD_VIE='WOHLER' et L'option COURBE GRD_VIE='FORM_VIE' et FORMULE VIE = MANCO1:

Identification	Type de référence	Valeur de référence
composante x de n_1 et n_2	'AUTRE_ASTER'	-0.43051109680829 0.43051109680830
composante y de n_1 et n_2	'AUTRE_ASTER'	0.90258528434986
composante z de n_1 et n_2	'AUTRE_ASTER'	0
$ENDO(n_1)$	'AUTRE_ASTER'	0.43649132038876

Dans le tableau ci-dessus, la composante x de n_1 et n_2 a deux valeurs parce qu'il existe deux vecteurs qui correspondent à la même valeur d'endommagement $ENDO\left(n_1\right) = ENDO\left(n_2\right)$.

Page : 32/46 Date: 21/10/2013 Responsable: Van Xuan TRAN Clé: V3.04.135 Révision: 11817

Modélisation C 5

5.1 Caractéristiques de la modélisation

Le critère en formule permet de retrouver les critères 'MATAKE MODI AC' et 'DANG VAN MODI AV' et des critère en formule associés pour le chargement multi-axiaux.

5.2 Caractéristiques du maillage

Le maillage est identique à celui de la modélisation A.

5.3 Grandeurs testées et résultats

Pour chargement périodique :

Pour les résultats à la maille M60 (point Gauss 3) pour l'option COURBE GRD VIE = 'WOHLER' et pour l'option courbe grd vie = 'form_vie' et formule_vie = whol:

Identification	Type de référence	Valeur de référence
$\Delta \tau(n_1)$	'NON_REGRESSION'	1 . 330171E + 02
composante x de n_1	'NON_REGRESSION'	6.972459E - 02
composante y de n_1	'NON_REGRESSION'	9.969556E - 01
composante z de n_1	'NON_REGRESSION'	- 3.489950E - 02
$N_{\max}(n_1)$	'NON_REGRESSION'	2.357226E+00
$N_m(n_1)$	'NON_REGRESSION'	2.220625E - 14
$\varepsilon_{\max}(n_1)$	'NON_REGRESSION'	0.000000 E + 00
$\varepsilon_m(n_1)$	'NON_REGRESSION'	- 3.627373E - 05
$\sigma_{eq}(n_1)$	'NON_REGRESSION'	2.348841E+02
$Nb_{cr}(n_1)$	'NON_REGRESSION'	2.583800E+04
$ENDO(n_1)$	'NON_REGRESSION'	3.870305E - 05
$\Delta \tau (n_2)$	'NON_REGRESSION'	1.330158E + 02
composante x de n_2	'NON_REGRESSION'	- 9.901402E - 01
composante y de n_2	'NON_REGRESSION'	6.906669E - 02
composante z de n_2	'NON_REGRESSION'	1.218693E - 01
$N_{\max}(n_2)$	'NON_REGRESSION'	1.264927E+02
$N_m(n_2)$	'NON_REGRESSION'	1.581158E +0 1
$\varepsilon_{\max}(n_2)$	'NON_REGRESSION'	6.474850E - 04
$\varepsilon_m(n_2)$	'NON_REGRESSION'	8.093563E - 05
alidation	L	Fascicula v2 04 : Statique linéaire des systèmes volumiques

Manuel de validation

Fascicule v3.04 : Statique linéaire des systèmes volumiques

Titre : SSLV135 – Critères d'amorçage en fatigue sous char[]	Date : 21/10/2013	Page : 33/46
Responsable : Van Xuan TRAN	Clé : V3.04.135	Révision : 11817

$\sigma_{eq}(n_2)$	'NON_REGRESSION'	3.892627E+02
$Nb_{cr}(n_2)$	'NON_REGRESSION'	3.323100E+04
$ENDO(n_2)$	'NON_REGRESSION'	3.009210E - 05

Pour les résultats à la maille M60 (point Gauss 3) pour l'option <code>COURBE_GRD_VIE = 'FORM_VIE'</code> et <code>FORMULE_VIE = WHOL_F</code>:

Identification	Type de référence	Valeur de référence
$\Delta \tau(n_1)$	'NON_REGRESSION'	1 . 330171E + 02
composante x de n_1	'NON_REGRESSION'	6.972459E - 02
composante y de n_1	'NON_REGRESSION'	9.969556E - 01
composante z de n_1	'NON_REGRESSION'	- 3.489950E - 02
$N_{\max}(n_1)$	'NON_REGRESSION'	2.357226E+00
$N_m(n_1)$	'NON_REGRESSION'	2.220625E – 14
$\varepsilon_{\max}(n_1)$	'NON_REGRESSION'	0.000000 E + 00
$\varepsilon_m(n_1)$	'NON_REGRESSION'	- 3.627373E - 05
$\sigma_{eq}(n_1)$	'NON_REGRESSION'	2.348841E+02
$Nb_{cr}(n_1)$	'NON_REGRESSION'	5.1477E+04
$ENDO(n_1)$	'NON_REGRESSION'	1.9426163934314E-05
$\Delta \tau(n_2)$	'NON_REGRESSION'	1.330158E + 02
composante x de n_2	'NON_REGRESSION'	- 9.901402E - 01
composante y de n_2	'NON_REGRESSION'	6.906669E - 02
composante z de n_2	'NON_REGRESSION'	1.218693E - 01
$N_{\max}(n_2)$	'NON_REGRESSION'	1.264927E+02
$N_m(n_2)$	'NON_REGRESSION'	1.581158E +0 1
$\varepsilon_{\max}(n_2)$	'NON_REGRESSION'	6.474850E - 04
$\varepsilon_m(n_2)$	'NON_REGRESSION'	8.093563E - 05
$\sigma_{eq}(n_2)$	'NON_REGRESSION'	3.892627E+02
$Nb_{cr}(n_2)$	'NON_REGRESSION'	5.1477E+04
$ENDO\left(n_{2}\right)$	'NON_REGRESSION'	1.9426163934314E-05

Page : 34/46 Date: 21/10/2013 Responsable: Van Xuan TRAN Clé: V3.04.135 Révision: 11817

Pour les résultats au nœud N214 pour l'option COURBE GRD VIE='WOHLER' et pour l'option COURBE_GRD_VIE = 'FORM_VIE' et FORMULE_VIE = WHOL:

Identification	Type de référence	Valeur de référence
$\Delta \tau(n_1)$	'NON_REGRESSION'	1.1557902030140E+02
composante x de n_1	'NON_REGRESSION'	3.8280107156988E-01
composante y de n_1	'NON_REGRESSION'	8.4447216637038E-01
composante z de n_1	'NON_REGRESSION'	3.7460659341591E-01
$N_{\max}(n_1)$	'NON_REGRESSION'	7.3701737537055E+01
$N_m(n_1)$	'NON_REGRESSION'	-6.6290480086559E+00
$\varepsilon_{\max}(n_1)$	'NON_REGRESSION'	0.
$\varepsilon_m(n_1)$	'NON_REGRESSION'	-4.2254262706848E-05
$\sigma_{eq}(n_1)$	'NON_REGRESSION'	2.8392113675768E+02
$Nb_{cr}(n_1)$	'NON_REGRESSION'	1.350500000000E+04
$ENDO(n_1)$	'NON_REGRESSION'	7.4047664409136E-05
$\Delta \tau (n_2)$	'NON_REGRESSION'	1.1520977056656E+02
composante x de n_2	'NON_REGRESSION'	-9.1924333354254E-01
composante y de n_2	'NON_REGRESSION'	3.9019564505737E-01
composante z de n_2	'NON_REGRESSION'	5.2335956242944E-02
$N_{\max}(n_2)$	'NON_REGRESSION'	1.1296755026397E+02
$N_m(n_2)$	'NON_REGRESSION'	6.8110853707598E+00
$\varepsilon_{\max}(n_2)$	'NON_REGRESSION'	3.6085283407484E-04
$\varepsilon_m(n_2)$	'NON_REGRESSION'	4.5106604259354E-05
$\sigma_{eq}(n_2)$	'NON_REGRESSION'	3.4226598124581E+02
$Nb_{cr}(n_2)$	'NON_REGRESSION'	4.872000000000E+03
$ENDO(n_2)$	'NON_REGRESSION'	2.0525129321838E-04

Pour les résultats au nœud N214 pour l'option courbe GRD VIE='FORM VIE' et FORMULE VIE = WHOL_F:

Identification	Type de référence	Valeur de référence
$\Delta \tau(n_1)$	'NON_REGRESSION'	1.1557902030140E+02
composante x de n_1	'NON_REGRESSION'	3.8280107156988E-01

Titre: SSLV135 – Critères d'amorçage en fatigue sous char[...]

Date: 21/10/2013 Page: 35/46

Responsable: Van Xuan TRAN

Clé: V3.04.135 Révision: 11817

composante y de n_1	'NON_REGRESSION'	8.4447216637038E-01
composante z de n_1	'NON_REGRESSION'	3.7460659341591E-01
$N_{\max}(n_1)$	'NON_REGRESSION'	7.3701737537055E+01
$N_m(n_1)$	'NON_REGRESSION'	-6.6290480086559E+00
$\varepsilon_{\max}(n_1)$	'NON_REGRESSION'	0.
$\varepsilon_m(n_1)$	'NON_REGRESSION'	-4.2254262706848E-05
$\sigma_{eq}(n_1)$	'NON_REGRESSION'	2.8392113675768E+02
$Nb_{cr}(n_1)$	'NON_REGRESSION'	2.0270E+04
$ENDO(n_1)$	'NON_REGRESSION'	4.933357265479E-05
$\Delta au(n_2)$	'NON_REGRESSION'	1.1520977056656E+02
composante x de n_2	'NON_REGRESSION'	-9.1924333354254E-01
composante y de n_2	'NON_REGRESSION'	3.9019564505737E-01
composante z de n_2	'NON_REGRESSION'	5.2335956242944E-02
$N_{\text{max}}(n_2)$	'NON_REGRESSION'	1.1296755026397E+02
$N_m(n_2)$	'NON_REGRESSION'	6.8110853707598E+00
$\varepsilon_{\max}(n_2)$	'NON_REGRESSION'	3.6085283407484E-04
$\varepsilon_m(n_2)$	'NON_REGRESSION'	4.5106604259354E-05
$\sigma_{eq}(n_2)$	'NON_REGRESSION'	3.4226598124581E+02
$Nb_{cr}(n_2)$	'NON_REGRESSION'	1.01240E+04
$ENDO(n_2)$	'NON_REGRESSION'	9.8775850589871E-05

Pour chargement non-périodique :

Pour les résultats au nœud N214 pour l'option <code>COURBE_GRD_VIE='WOHLER'</code> et pour l'option <code>COURBE_GRD_VIE='FORM_VIE'</code> et <code>FORMULE_VIE = WHOL</code>:

Identification	Type de référence	Valeur de référence
composante x de n_1	'NON_REGRESSION'	3.8280107156988E-01
composante y de n_1	'NON_REGRESSION'	8.4447216637038E-01
composante z de n_1	'NON_REGRESSION'	3.7460659341591E-01
$ENDO(n_1)$	'NON_REGRESSION'	9.2779623136707E-05

Page : 36/46

Révision: 11817

Titre : SSLV135 – Critères d'amorçage en fatigue sous char[...]

Responsable: Van Xuan TRAN

Date : 21/10/2013

Clé: V3.04.135

Pour les résultats au nœud N206 et à la maille M60 (point Gauss 3) pour l'option COURBE GRD VIE= 'FORM_VIE' et FORMULE_VIE = WHOL_F:

Identification	Type de référence	Valeur de référence
composante x de n_1	'NON_REGRESSION'	3.8280107156988E-01
composante y de n_1	'NON_REGRESSION'	8.4447216637038E-01
composante z de n_1	'NON_REGRESSION'	3.7460659341591E-01
$ENDO(n_1)$	'NON_REGRESSION'	6.1692384350833E-05

Page: 37/46 Date: 21/10/2013 Responsable: Van Xuan TRAN Clé: V3.04.135 Révision: 11817

Modélisation D 6

6.1 Caractéristiques de la modélisation

Les fonctionnalités testées sont de nouvelles grandeurs (qui ne font pas partie des critères existant déjà testé dans les autres modélisations). Seule l'option CRITERE='FORMULE_CRITERE' de la commande CALC FATIGUE et la courbe de vie appelée par le nom 'WOHLER' sont utilisées.

On note que le comportement est élasto-plastique et le chargement est uniaxial et périodique.

6.2 Caractéristiques du maillage

Le maillage est identique à celui de la modélisation A.

6.3 Grandeurs testées et résultats

Pour les résultats **au nœud** NI et à la **maille** M60 :

Identification	Type de référence	Valeur de référence
'DEPSPE'	'ANALYTIQUE'	7.5E-4
'EPSPR1'	'ANALYTIQUE'	7.625E-4
'SIGNM1'	'ANALYTIQUE'	200
'APHYDR'	'ANALYTIQUE'	66.6666
'DENDIS'	'ANALYTIQUE'	0.45
'DENDIE'	'ANALYTIQUE'	0.173333
'DSIGEQ'	'ANALYTIQUE'	200
'EPSNM1'	'ANALYTIQUE'	1.75E-3
'INVA2S'	'ANALYTIQUE'	1.61666E-3
'DSITRE'	'ANALYTIQUE'	50
'DEPTRE'	'ANALYTIQUE'	6.0625E-4
'DEPTRE'	'ANALYTIQUE'	3.67423E-3
'DEPSEE'	'ANALYTIQUE'	0.00086666666

Date: 21/10/2013 Page : 38/46 Responsable: Van Xuan TRAN Clé: V3.04.135 Révision: 11817

Modélisation E 7

7.1 Caractéristiques de la modélisation

Les fonctionnalités testées sont de nouvelles grandeurs. On note que le comportement est élasto-plastique et le chargement est bi-axial et non-périodique.

7.2 Caractéristiques du maillage

Le maillage est identique à celui de la modélisation A.

7.3 Grandeurs testées et résultats

La valeur de référence correspond à <u>l'endommagement</u> (ENDO1) et les résultats ont été obtenus au nœud $N1\,$ et à la maille $M60\,$ via la formule de Basquin :

Identification	Type de référence	Valeur de référence
Critères		
$\frac{ SIPR1 - SIPR2 }{2}$	'ANALYTIQUE'	1.0707149E-03
$\frac{ SITN1 - SITN2 }{2}$	'ANALYTIQUE'	1.0707149E-03
SIPN1-SIPN2 2	'ANALYTIQUE'	1.0707149E-03
SIGEQ1 – SIGEQ2 2	'ANALYTIQUE'	4.287285E-03

La valeur de référence correspond toujours à <u>l'endommagement</u> (ENDO1) et les résultats ont été obtenus au **nœud** N1 et à la **maille** M60 avec une **interpolation** de la courbe de Wöhler :

Identification	Type de référence	Valeur de référence
Critères		
$\frac{ SIPR1 - SIPR2 }{2}$	'ANALYTIQUE'	1.9212572E-03
$\frac{ SITN1 - SITN2 }{2}$	'ANALYTIQUE'	1.9212572E-03
SIPN1-SIPN2 2	'ANALYTIQUE'	1.9212572E-03
SIGEQ1 – SIGEQ2 2	'ANALYTIQUE'	5.8175699E-03

Date: 21/10/2013

Titre: SSLV135 - Critères d'amorçage en fatigue sous char[...]

Page: 39/46 Responsable: Van Xuan TRAN Clé: V3.04.135 Révision: 11817

Modélisation F 8

8.1 Caractéristiques de la modélisation

Les fonctionnalités testées sont de nouvelles grandeurs.

On note que différents comportements et chargement sont testés : élastique, bi-axial et non-périodique puis élasto-plastique, uni-axial et non-périodique.

8.2 Caractéristiques du maillage

Le maillage est identique à celui de la modélisation A.

8.3 Grandeurs testées et résultats

Résultat obtenu avec le premier chargement (SOL NL):

La valeur de référence correspond à <u>l'endommagement</u> (ENDO1) et les résultats ont été obtenus au nœud NI et à la maille M60 via la formule de Basquin :

Identification	Type de référence	Valeur de référence
Critères		
$\frac{ EPSN1 - EPSN2 }{2}$	'ANALYTIQUE'	1.08363973E-05
<u> ETPR1 - ETPR2 </u> 2	'ANALYTIQUE'	1.0 8363973 E-0 5
<u> ETEQ1 </u>	'ANALYTIQUE'	1.06338423E-05

La valeur de référence correspond toujours à <u>l'endommagement</u> (ENDO1) et les résultats ont été obtenus au **nœud** NI et à la **maille** M60 avec une **interpolation** de la courbe de Wöhler :

Identification	Type de référence	Valeur de référence
Critères		
$\frac{ EPSN1 - EPSN2 }{2}$	'ANALYTIQUE'	3.26558686E-05
<u> ETPR1 - ETPR2 </u> 2	'ANALYTIQUE'	3.26558686E-05
ETEQ1 - ETEQ2 2	'ANALYTIQUE'	3.21404432E-05

Date: 21/10/2013 Page: 40/46 Responsable: Van Xuan TRAN Clé: V3.04.135 Révision: 11817

Résultat obtenu avec le deuxième chargement (SOL NL2):

La valeur de référence correspond à <u>l'endommagement</u> (ENDO1) et les résultats ont été obtenus au nœud N1 et à la maille M60 via la formule de Basquin :

Identification	Type de référence	Valeur de référence
Critères		
$\frac{ EPSNI - EPSN2 }{2}$	'ANALYTIQUE'	1.449229E-04
<u>ETPR1 - ETPR2 </u> 2	'ANALYTIQUE'	1. 449229 E-0 4
<u> ETEQ1 - ETEQ2 </u> 2	'ANALYTIQUE'	6.5320499E-05

La valeur de référence correspond toujours à <u>l'endommagement</u> (ENDO1) et les résultats ont été obtenus au ${\bf nœud}~~N1~$ et à la ${\bf maille}~~M60~$ avec une ${\bf interpolation}$ de la courbe de Wöhler :

Identification	Type de référence	Valeur de référence
Critères		
$\frac{ EPSN1 - EPSN2 }{2}$	'ANALYTIQUE'	2.408735E-04
<u> ETPR1 - ETPR2 </u> 2	'ANALYTIQUE'	2.408735 E-0 4
<u> ETEQ1 - ETEQ2 </u> 2	'ANALYTIQUE'	1.322816E-04

Résultat obtenu avec le troisième chargement (sol NL3):

La valeur de référence correspond à l'endommagement (ENDO1) et les résultats ont été obtenus au nœud NI et à la maille M60 via la formule de Basquin :

Identification	Type de référence	Valeur de référence
Critères		
$\frac{ EPPR1 - EPPR2 }{2}$	'ANALYTIQUE'	1.377855E-02

La valeur de référence correspond toujours à <u>l'endommagement</u> (ENDO1) et les résultats ont été obtenus au **nœud** NI et à la **maille** M60 avec une **interpolation** de la courbe de Wöhler :

Identification	Type de référence	Valeur de référence
Critères		
<u> EPPR1 - EPPR2 </u> 2	'ANALYTIQUE'	2.1858445E-03

Date: 21/10/2013 Page: 41/46 Responsable: Van Xuan TRAN Clé: V3.04.135 Révision: 11817

Modélisation G 9

9.1 Caractéristiques de la modélisation

Les fonctionnalités testées sont de nouvelles grandeurs.

On note que différents comportements et chargement sont testés : un matériau élastique et un matériau élasto-plastique.

9.2 Caractéristiques du maillage

Le maillage est identique à celui de la modélisation A.

9.3 Grandeurs testées et résultats

• Critères de dang van modi ac, de matake modi ac, de dang van modi av Pour les résultats de ϕ_z au nœud NI pour un matériau élastique.

Valeur de α	Type de référence	Valeur de référence
-1, -0.5, 010	'ANALYTIQUE'	45

Pour les résultats de $\,\phi_z\,$ au nœud $\,NI\,$ pour un matériau élastoplastique.

Valeur de α	Type de référence	Valeur de référence
0, 1, 2, 3, 4	'ANALYTIQUE'	45

• Critère de MATAKE_MODI_AV

Valeur de α	Type de référence	Valeur de référence
-1	'ANALYTIQUE'	45
-0.5	'ANALYTIQUE'	45.72
0	'ANALYTIQUE'	46.43
0.5	'ANALYTIQUE'	47.14
1	'ANALYTIQUE'	47.86
1.5	'ANALYTIQUE'	48.56
2	'ANALYTIQUE'	49.27
2.5	'ANALYTIQUE'	49.96
3	'ANALYTIQUE'	50.65
3.5	'ANALYTIQUE'	51.34
4	'ANALYTIQUE'	52.02
4.5	'ANALYTIQUE'	52.69
5	'ANALYTIQUE'	53.35
5.5	'ANALYTIQUE'	54
6	'ANALYTIQUE'	54.65
6.5	'ANALYTIQUE'	55.28

Manuel de validation

Fascicule v3.04 : Statique linéaire des systèmes volumiques

Titre: SSLV135 – Critères d'amorçage en fatigue sous char[...]

Date: 21/10/2013 Page: 42/46

Responsable: Van Xuan TRAN

Clé: V3.04.135 Révision: 11817

7	'ANALYTIQUE'	55.9
7.5	'ANALYTIQUE'	56.51
8	'ANALYTIQUE'	57.11
8.5	'ANALYTIQUE'	57.7
9	'ANALYTIQUE'	58.28
9.5	'ANALYTIQUE'	58.85
10	'ANALYTIQUE'	59.41

Pour les résultats de $\,\phi_{z}\,$ au nœud $\,NI\,$ pour un matériau élasto-plastique.

Valeur de α	Type de référence	Valeur de référence
0	'ANALYTIQUE'	46.43
1	'ANALYTIQUE'	47.86
2	'ANALYTIQUE'	49.27
3	'ANALYTIQUE'	50.65
4	'ANALYTIQUE'	52.02

• Critère de FATESOCI_MODI_AV

Pour les résultats de $\,\phi_{z}\,$ au nœud $\,NI\,$ pour un matériau élastique.

Type de référence	Valeur de référence
'ANALYTIQUE'	45
'ANALYTIQUE'	45.34
'ANALYTIQUE'	45.67
'ANALYTIQUE'	45.99
'ANALYTIQUE'	46.31
'ANALYTIQUE'	46.61
'ANALYTIQUE'	46.91
'ANALYTIQUE'	47.2
'ANALYTIQUE'	47.48
'ANALYTIQUE'	47.75
'ANALYTIQUE'	48.01
'ANALYTIQUE'	48.27
'ANALYTIQUE'	48.51
'ANALYTIQUE'	48.75
'ANALYTIQUE'	48.98
'ANALYTIQUE'	49.2
'ANALYTIQUE'	49.42
'ANALYTIQUE'	49.63
	'ANALYTIQUE'

Manuel de validation

Fascicule v3.04 : Statique linéaire des systèmes volumiques

Titre : SSLV135 – Critères d'amorçage en fatigue sous char[]	Date: 21/10/2013	Page : 43/46
Responsable : Van Xuan TRAN	Clé : V3.04.135	Révision : 11817

8	'ANALYTIQUE'	49.83
8.5	'ANALYTIQUE'	50.03
9	'ANALYTIQUE'	50.22
9.5	'ANALYTIQUE'	50.4
10	'ANALYTIQUE'	50.58

Pour les résultats de $\,\phi_{z}\,$ au nœud $\,NI\,$ pour un matériau élasto-plastique.

Valeur de α	Type de référence	Valeur de référence
0	'ANALYTIQUE'	45.67
1	'ANALYTIQUE'	46.31
2	'ANALYTIQUE'	46.91
3	'ANALYTIQUE'	47.48
4	'ANALYTIQUE'	48.01

Date: 21/10/2013 Page : 44/46 Responsable: Van Xuan TRAN Clé: V3.04.135 Révision: 11817

Modélisation H 10

10.1 Caractéristiques de la modélisation

Les fonctionnalités testées sont de nouvelles grandeurs et le mot-clé FORMULE CRITIQUE. Seule l'option CRITERE='FORMULE CRITERE' de la commande CALC FATIGUE et les courbes de vie appelées par les formules sont utilisées.

On note que le comportement est élasto-plastique et le chargement est uni-axial et périodique.

10.2 Caractéristiques du maillage

Le maillage est identique à celui de la modélisation A.

10.3 Grandeurs testées et résultats

Pour les résultats **au nœud** N1 et à la **maille** M60 :

Identification	Type de référence	Valeur de références
FORMULE_CRITIQUE = 'DTAUCR' ou 'MTAUCR'		
'SIGEQ1'	'ANALYTIQUE'	100 MPa
'ENDO1'	'ANALYTIQUE'	1.028E-6
'NBRUP1'	'ANALYTIQUE'	9.73E5
'VNM1X', 'VNM1Y', 'VNM1Z'	'ANALYTIQUE'	(0.707, -0.707), 0.707, 0
FORMULE_CRITIQUE = 'DGAMCR' ou 'MGAMCR'		
'SIGEQ1'	'ANALYTIQUE'	9.73E5
'ENDO1'	'ANALYTIQUE'	1.583E-4
'NBRUP1'	'ANALYTIQUE'	6.3163E3
'VNM1X', 'VNM1Y', 'VNM1Z'	'ANALYTIQUE'	(0.707, -0.707), 0.707, 0
FORMULE_CRITIQUE = 'DSINCR' ou 'MSINCR'		
'SIGEQ1'	'ANALYTIQUE'	200
'ENDO1'	'ANALYTIQUE'	1.348E-5
'NBRUP1'	'ANALYTIQUE'	7.418E4
'VNM1X', 'VNM1Y', 'VNM1Z'	'ANALYTIQUE'	(-1,1), 0.0174, 0
FORMULE_CRITIQUE = 'DEPNCR' ou 'MEPNCR'		
'SIGEQ1'	'ANALYTIQUE'	1.75E-3
'ENDO1'	'ANALYTIQUE'	2.11E-5
'NBRUP1'	'ANALYTIQUE'	4.74E4
'VNM1X', 'VNM1Y', 'VNM1Z'	'ANALYTIQUE'	(-1, 1), 0.0174, 0

Titre: SSLV135 – Critères d'amorçage en fatigue sous char[...]

Date: 21/10/2013 Page: 45/46

Responsable: Van Xuan TRAN

Clé: V3.04.135 Révision: 11817

FORMULE_CRITIQUE = 'DGAMPC' ou 'MGAMPC'		
'SIGEQ1'	'ANALYTIQUE'	1.125E-3
'ENDO1'	'ANALYTIQUE'	1.3782E-6
'NBRUP1'	'ANALYTIQUE'	7.256E5
'VNM1X', 'VNM1Y', 'VNM1Z'	'ANALYTIQUE'	(0.707, -0.707), 0.707, 0
FORMULE_CRITIQUE = 'DEPNPC' ou 'MEPNPC'		
'SIGEQ1'	'ANALYTIQUE'	0.75E-3
'ENDO1'	'ANALYTIQUE'	1.126E-7
'NBRUP1'	'ANALYTIQUE'	8.88E6
'VNM1X', 'VNM1Y', 'VNM1Z'	'ANALYTIQUE'	(-1,1), 0.0174, 0

Date : 21/10/2013 Page: 46/46 Responsable: Van Xuan TRAN Clé: V3.04.135 Révision: 11817

Synthèse des résultats 11

Les résultats obtenus sont en parfait accord avec la solution de référence pour la modélisation A. La modélisation B n'a pas de solutions de référence associées aux critères. La modélisation C n'a pas de solution de référence, il s'agit d'un test de non-régression.

Les résultats des modélisations D, E, F, G et H s'accordent avec les résultats analytiques.